

## الباب الرابع النشاط الاشعاعي

### ٤.٤ النشاط الاشعاعي :

اكتشف النشاط الاشعاعي لبعض العناصر مصادفة وكان ذلك عام 1896م بواسطة بكريل Becquerel الذي كان يدرس أثر الفلورة fluorescence على الافلام الفوتوغرافية الحساسة فقد كان يلف المادة المتفلورة fluorescent في ورق اسود ثم يضعها فوق الفيلم الحساس في معزل عن الضوء . لقد اكتشف أن الافلام الحساسة قد تأثرت ثم عرف بعد ذلك أن هذا التأثير لا علاقة له بظاهرة الفلورة أو أشعة  $\times$  التي اكتشفت عام 1895 اذ وجد أن جميع أملاح اليورانيوم تعطي نفس التأثير والتي لا تحدث بعضها فلورة .

ومن ثم وصل إلى نتيجة مفادها أن هناك نوع من الاشعاع Radiation ينطلق من هذه المواد ويؤثر على الألواح الحساسة ثم اكتشف فيما بعد أن بعض المواد الطبيعية الأخرى كالراديوم تحدث تأثيراً مماثلاً . ومن ثم اطلق على هذه المواد (المواد المشعة) واطلق على الظاهرة نفسها النشاط الاشعاعي Radioactivity أو الفاعلية الاشعاعية .

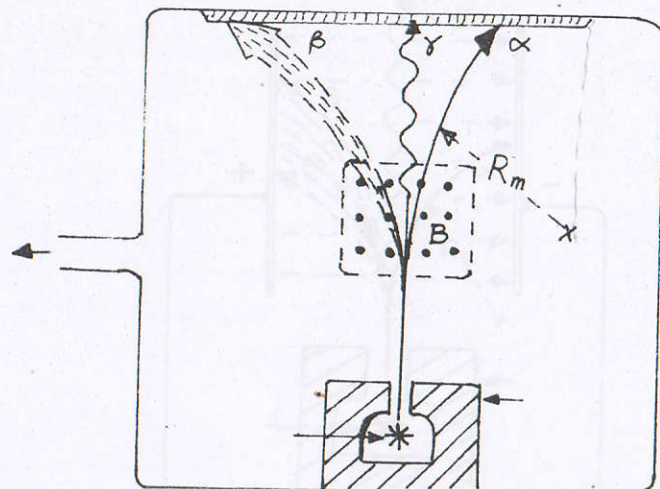
كما اكتشف بكريل بعد ذلك أن هذا الاشعاع له المقدرة على تأين الهواء كما تفعل اشعة  $\times$  . وبالتالي استخدمت هذه الخاصية للكشف عن الاشعاع بدلاً من طريقة الكشف عنه باستخدام الافلام الحساسة .

استخدمت مدام كوري عام 1910 جهازاً كالمبين بالشكل (٤ . ١) للكشف عن الاشعاع . حيث يتربك من ورقة رقيقة من الذهب (A) مثبتة إلى قضيب معدني (B) يمر من خلال مادة عازلة (C) حيث يتصل بقرص معدني آخر (D) ويوضع القضيب المعدني والورقة الذهبية داخل إناء به هواء (E) يطلق على هذا الجهاز الكشاف الكهربائي ذو الورقة الذهبية . فإذا شحن الجهاز أولاً بإستخدام بطارية مثلاً فإن الورقة الذهبية تتنافر مع الساق المعدني (B) وتبتعد عنه فإذا ما وضعت مادة مشعة فوق القرص (D) كما بالشكل فإن الاشعاع المنطلق سيسقط على الهواء الموجود حول الورقة الذهبية ويقوم بتأينه وبالتالي ستتعادل

١ . في ضوء نموذج يوكاوا ، أوجد كتلة البايون .

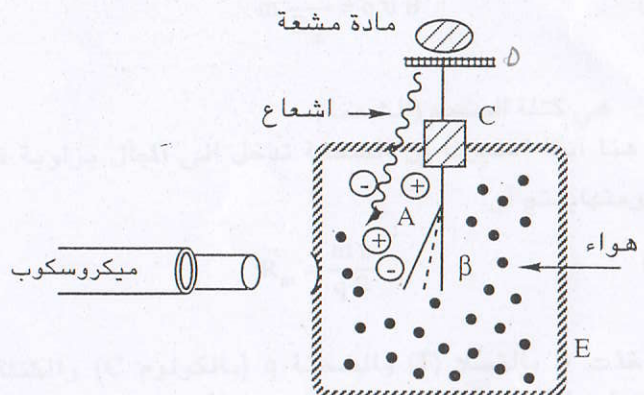
٢ . قارن بين قوة الجذب العام والقوة النووية بين البروتون والنيوترون في نواة الديوتيريوم .

ن الساق المعدنية . ويمكن تتبع هذا الانفراج باستخدام ميكروскоп ذو قوة تكبير صغيرة . لاحظ أن الانفراج يقل كلما زادت كمية المادة المشعة .



الشكل (4.2) تعين أنواع الاشعاع المختلفة باستخدام المجال المغناطيسي

لاحظ أن انحراف الاشعة نحو الشمال أو اليمين يدل على أن هذه الاشعة هي عبارة عن جسيمات مشحونة. أما الاشعة التي لم تعانى انحرافاً فهي اشعاع كهرومغناطيسي. أما الاشعة المتجهة نحو اليمين فهي مشحونة بشحنة موجبة والتجهة نحو الشمال فهي مشحونة بشحنة سالبة. وتعرف الأولى بجسيمات  $\alpha$  أما الثانية فتعرف بجسيمات  $\beta$  أما الأشعة الكهرومغناطيسي فهو عبارة عن اشعة  $\gamma$ . عند فحص اللوح الفوتوغرافي تجد أن جسيمات  $\alpha$  تحدث بقعة سوداء عند نقطة معينة على اللوح مما يدل على أنها ذات طاقة محددة. أما جسيمات  $\beta$  فتحدث امتداداً من النقاط على اللوح مما يدل على أنها ذات طاقات مختلفة تبدأ من الصفر حتى قيمة عظمى معينة (انظر اشاع  $\beta$ ) يعتمد مسار الجسيمات المشحونة على كل من شحنتها



الشكل (4.1) الكشاف الكهربائي ذو الورقة الذهبية .

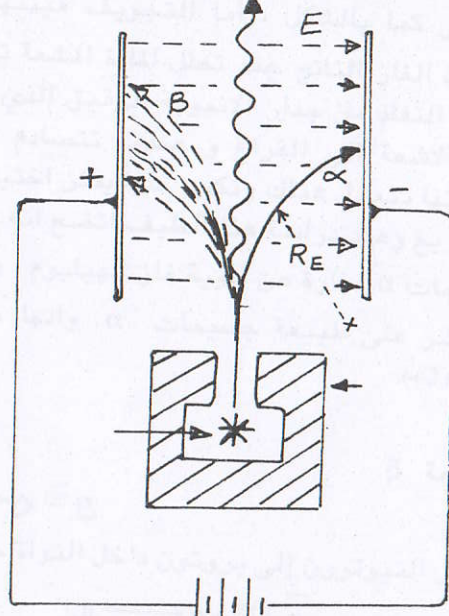
باستخدام هذا الجهاز البسيط ثبتت مدام كوري أن الثوريوم هو أيضاً عنصر مشع كالليورانيوم كما استطاعت أن تكتشف العنصر الجديد البولونيوم عام 1898 .

#### 2.4 أنواع الاشعاع:

بعد أن تأكد انطلاق الاشعاع من المواد المشعة أجريت محاولات للتعرف على أنواع الاشعة المنطلقة من المادة وتم ذلك بوضع قطعة من مادة مشعة كالراديوم أو الثوريوم في حفرة واقي رصاصي كما بالشكل (2.4) حيث يخرج الاشعاع من فتحة ضيقة ليخترق مجالاً مغناطيسياً (B) يتجه خارجاً من صفحة الكتاب نحو القارئ وبتطبيق قاعدة اليد اليسرى تجد أن الاشعاع الخارج من المادة المشعة قد أنقسم إلى ثلاثة أقسام رئيسية: بعض الاشعة اتجهت نحو اليمين والأخرى اتجهت نحو الشمال وثالثة لم ت转弯 عن مسارها واستمرت في خط مستقيم . ويمكننا التتحقق من ذلك بفحص اللوح الفوتوغرافي الحساس .

$\alpha$  (line spectrum)  
 $\beta$  (continuous spectrum)

حيث : هي نصف قطر المسار كما في الشكل (4 . 3)



الشكل (4 . 3) تعيين أنواع الاشعاع المختلفة باستخدام المجال الكهربى

ومن ثم فإن :

$$R_E = \frac{mv^2}{qE} \quad (4 . 4)$$

إذا قدرت  $q$  بالكولوم ،  $m$  بالكيلوجرام و  $v$  بالمتر/ث و  $E$  النيوتن/كولوم (فولت/متر) فإن  $R_E$  تقدر بالأمتار.

باستخدام معادلتي (2 . 4) ، (4 . 4) نجد أن :

$$\frac{R_m}{R_E} = \frac{E}{Bv} \quad (5 . 4)$$

إذا عرفت قيمة كل من  $E$  ،  $B$  فإنه بقياس  $R_E, R_m$  يمكن تحديد  $v$  وبالتالي معرفة طاقة الجسيمات الاشعاعية.

تحرك شحنة  $q$  بسرعة  $v$  في مجال مغناطيسي  $B$  فإنها تأخذ مساراً دائرياً بنصف قطر قدره  $R_m$  حيث :

$$m \frac{v^2}{R_m} = qvB \quad (1 . 4)$$

حيث

$m$  هي كتلة الجسم (الشحنة)

لاحظ هنا أننا اعتبرنا أن الشحنة تدخل إلى المجال بزاوية قدرها  $90^\circ$  معه ومنها ينتج أن :

$$R_m = \frac{mv}{qB} \quad (2 . 4)$$

فإذا أخذت  $B$  بالتسلا (T) والشحنة  $q$  بالكولوم (C) والكتلة ( $m$ ) بالكيلوجرام والسرعة ( $m/s$ ) فإن  $R_m$  تقدر بالأمتار.

كما ويمكن استخدام المجال الكهربى أيضاً للتعرف على أنواع الاشعاع المختلفة ويبين الشكل (4 . 3) ترتيباً عملياً لذلك فعندما يدخل الاشعاع إلى منطقة المجال الكهربى  $E$  فإن الجسيمات المشحونة تتجه كل نحو القطب المخالف لها في الشحنة ومن ثم تتحرك أشعة  $\alpha$  نحو اليمين

(القطب السالب) بينما جسيمات  $\beta$  المشحونة بالشحنة السالبة نحو اليسار (القطب الموجب). نلاحظ هنا أن جسيمات  $\alpha$  تأخذ مساراً واحداً

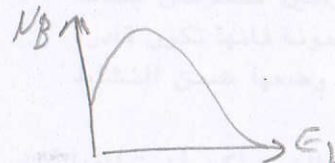
تقريباً وذلك لأنها جسيمات وحيدة الطاقة ، أما جسيمات  $\beta$  فتأخذ مسارات متصلة - تقريباً - وذلك لأن هناك توزيعاً لطاقة هذه

الجسيمات (انظر أشعة  $\beta$ ) حيث تأخذ طاقات مختلفة بدءاً بقيمة صغرى تساوي صفرأً وانتهاءً بطاقة عظمى معينة. أما أشعاع  $\gamma$  فيمر دون أن يعني أي انحراف كما في حالة الحركة في المجال المغناطيسي.

ويمكن تعين نصف قطر مسار الشحنة في المجال الكهربى (E) حيث نجد أن :

$$m \frac{v^2}{E} = qvB \quad (3 . 4)$$

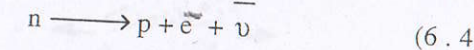
ولمعرفة طبيعة اشعة  $\alpha$  تم استخدام جهاز كالمبين بالشكل (4 . 4) حيث وضعت مادة مشعة تطلق اشعة  $\alpha$  (كارلاديوم مثلاً) في الانبوبة الرقيقة الموضوعة داخل تجويف خارجي قد فرغ من الهواء باستخدام خزان الزئبق كما بالشكل . أما التجويف فينتهي بانبوبة تفريغ لدراسة طيف الغاز الناتج . عند تحلل المادة المشعة تنطلق جسيمات  $\alpha$  وتتمكن من النفاذ من جدار الانبوبة الرقيق الذي يسمح بذلك حيث تدخل هذه الاشعة إلى الفراغ و عندما تتصادم مع جدار الانبوبة الخارجية فإنها تتعادل هناك وتكون غازاً يمكن اختبار طيفه باستخدام انبوبة التفريغ و عند دراسة هذا الطيف اتضح انه طيف غاز الهيليوم أي أن جسيمات  $\alpha$  عبارة عن اトوية غاز الهيليوم . وبالتالي يعتبر هذا ثبات مباشر على طبيعة جسيمات  $\alpha$  . وانها مشحونة بشحتين موجبتين ( $e^+$ ).



### ثانياً: أشعة $\beta$

#### 1. أشعة $\beta^-$

أ. يتحول النيوترون إلى بروتون داخل النواة حسب التفاعل:



حيث

$e^-$  هي  $\beta^-$  أي الالكترونات  
antineutrino

$\bar{\nu}$  جسيم أولي يطلق عليه هديد النيوترينو (انظر الباب التاسع).

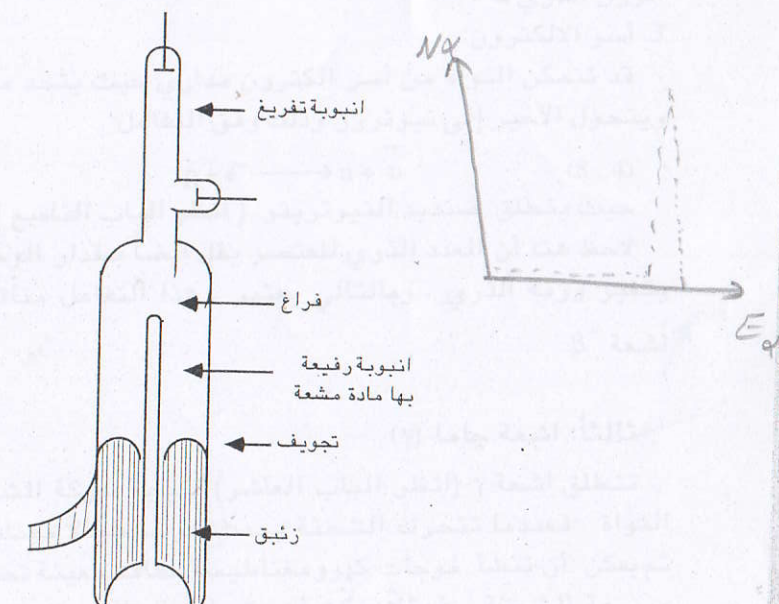
وهنا تنطلق الالكترونات بطاقة مختلفة اقلها صفراء واقصها  $E_{max}$  تساوي طاقة التحول (انظر الباب التاسع) . لاحظ هنا أن العدد الذري للعنصر يزداد بمقدار الوحدة بينما لا يتغير الوزن الذري له .

ب . قد تعطي النواة المثار طاقتها مباشرة إلى الالكترون المداري (المدار  $K$  أو  $L$  أو  $M$ ...) الذي يخرج بطاقة معينة تساوي الفرق .. مائة الأثرة ، وطاقة ترابط الالكترون ويعرف هذا التفاعل

كما وانه بمعرفة  $v$  يمكن معرفة النسبة  $(\frac{m}{q})$  أي النسبة بين الكتلة والشحنة .  $(\frac{m}{q})$

### أولاً: جسيمات $\alpha$

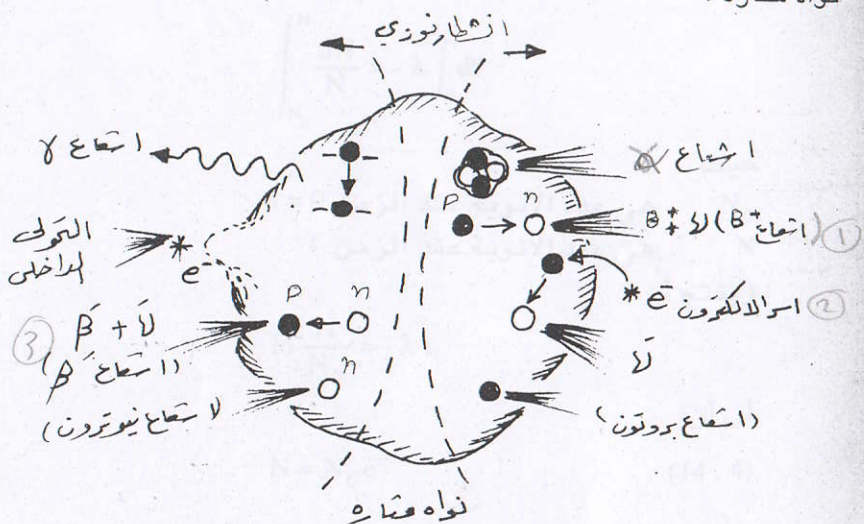
تنطلق جسيمات  $\alpha$  من النواة وذلك بافتراض أنها تتكون من مجموعة من هذه الجسيمات (انظر الباب السادس) . وعندما تثار النواة وذلك عندما توجد بها طاقة زائدة كما هو الحال في العناصر الواقعة بعد اليورانيوم والتي يطلق عليها عناصرها بعد اليورانيوم Transuranic Elements وبعض العناصر الأخرى المشعة طبيعياً أو المضرة صناعياً، فإن جسيمات  $\alpha$  تتمكن من اختراق حاجز كولوم والانطلاق خارج النواة فيما يعرف باشعاع  $\alpha$  (انظر الباب الثامن).



الشكل (4 . 4) الجهاز المستخدم لمعرفة طبيعة أشعة  $\alpha$  وأثبات

**رابعاً: شعاع البروتون أو النيوترون**  
قد تكون طاقة النواة كافية لانطلاق بروتون أو نيوترون منها، ويعتمد ذلك على طاقة النواة والتركيب النووي لها وطاقة ترابط هذه النيوكليلونات مع النواة حيث ينطلق البروتون أو النيوترون بطاقة معينة. وحيث أن هذه الجسيمات لها مقدرة على التأثير فإننا رأينا أن ضلعها ضمن الاشعاع النووي باعتبار أنه ذلك الاشعاع ذي الطاقة العالية والتي تمكّنه من احداث ايونات في المادة عند تفاعله معها.

**خامساً: شظايا الانشطار**  
كما يمكن للنواة المثارة اثناء محاولاتها للتخلص من طاقتها الزائدة أن تتشطر إلى نوتين أصغر من النواة الأم فيما يعرف بتفاعل الانشطار النووي وهنا تنقسم النواة إلى نوتين تتحركان بطاقة معينة وحيث أن هذه الانوية هي جسيمات مشحونة فانها تكون قادرة على احداث ايونات في المادة ، ومن ثم يمكن وضعها ضمن النشاط الشعاعي للمادة . (انظر الباب الرابع عشر).  
يُبيّن الشكل (4 . 5) ضروب الاشعاع المختلفة التي يمكن أن تطلقها نواة مثارة .

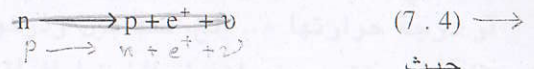


الشكل (4 . 5) أنواع الاشعاع المختلفة التي يمكن أن تطلقها نواة مثارة .

بالتحول الداخلي كما ويطلق على هذه الالكترونات : الكترونات التحول الداخلي (انظر الباب العاشر)

2. أشعة  $\beta^+$

أ. يتتحول البروتون إلى نيوترون حسب التفاعل:



حيث

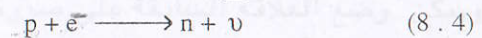
$e^+$  هي اشعة  $\beta^+$  أو البوزيترونات .

7 هي النيوتروينو

ويشبه طيف اشعة  $\beta^+$  اشعة  $\beta^-$  من حيث توزيع الطاقة ( انظر الباب التاسع )  
لاحظ هنا أن العدد الذري للعنصر يقل بمقدار الوحدة بينما لا يتغير الوزن الذري له .

3. أسر الالكترون:

قد تتمكن النواة من أسر الكترون مداري حيث يتهدى مع البروتون ويتحول الأخير إلى نيوترون وذلك وفق التفاعل:



حيث ينطلق صنديد النيوترونو . (انظر الباب التاسع )

لاحظ هنا أن العدد الذري للعنصر يقل أيضاً بمقدار الوحدة بينما لا يتغير وزنه الذري . وبالتالي يعتبر . هذا التفاعل منافساً لانطلاق اشعة  $\beta^+$ .

ثالثاً: اشعة جاما (7)

تنطلق اشعة  $\gamma$  (انظر الباب العاشر) نتيجة لحركة الشحنات داخل النواة . فعندما تتحرك الشحنة يحدث حولها مجالاً مغناطيسياً ومن ثم يمكن أن تنشأ موجات كهرومغناطيسية بطاقة معينة تحكمها طبيعة وسرعة الشحنة . فمثلاً يمكن أن يتم انتقال البروتون بين القشور النووية مما ينتج عنه اشعاع (7). لاحظ هنا أن انطلاق اشعة (7) لا يصاحبه أي تغيير في العدد الذري أو الوزن الذري للعنصر . وسوف

### 3.4 قوانين الانحلال الاشعاعي:

بياناً أن النواة يمكنها أن تطلق عدة أنماط من الاشعاع ويعتمد ذلك على خاصية ذاتية للنواة كما وأن احتمال انطلاق الاشعاع هو تفاعل عشوائي لا يعتمد على الظروف المحيطة بالنواة أو الضغط الواقع عليها أو درجة حرارتها .... الخ. فقد بين رذرфорد أن معدل تحلل الراديون -

$Rn^{222}$  لم يتغير عند ازدياد الضغط الواقع عليه بـ  $\alpha$  مرة. كما بين كوري أن هذا المعدل لم يتغير عندما غير درجة الحرارة بين  $450^\circ C$  و  $186^\circ C$ . كما وأن احتمال تحلل النواة لا يعتمد على عمر هذه النواة. فقد تظل النواة دونها تحلل ملايين السنين قبل أن تتحلل فجأة وتطلق أنواع معينة من الاشعاع.

لنفترض أن لدينا عدد من الأنوبيات قدره  $N$  وأنه عند مرور زمن قدره  $dt$  فإن عدد من الأنوبيات قدره  $dN$  قد تحلل (اطلق اشعاع) فإنه ينتج أن:

$$dN \propto N dt$$

والإشارة السالبة هنا تعني أن عدد الأنوبيات الباقية يتناقص مع مرور الزمن.

ويمكن وضع العلاقة السابقة على صورة معادلة وذلك بالضرب في ثابت  $\lambda$  حيث ينتج أن:

$$dN = -\lambda N dt \quad (9.4)$$

حيث

$\lambda$  مقدار ثابت يدعى ثابت الانحلال. وهو كمية طبيعية ذاتية خاصة بالنواة ولا يعتمد على أي من الشروط الطبيعية والكيميائية المحيطة بها.

ويمكن تعريف معدل الانحلال أو الفاعلية الاشعاعية (Activity) بأنها عدد الانحلالات في الثانية الواحدة الناتجة عن مادة مشعة ويرمز لها بالرمز  $A$  حيث:

$$A = \left| \frac{dN}{dt} \right| \quad \text{انحلال/ثانية} \quad (10.4)$$

ومن معادلة (9.4) نجد أن:

$$\frac{dN}{dt} = -\lambda N \quad (11.4)$$

ومن معادلتي (11.4) ، (10.4) ينتج أن:

$$A = \lambda N \quad (12.4)$$

فإذا كان لدينا كتلة من المادة قدرها  $m$  وزنها الجزيئي  $M$  فإن عدد الانوية بها ( $N$ ) يعطي بالعلاقة:

$$N = \frac{m}{M} N_A \quad (13.4)$$

حيث  $N_A$  هو عدد افوجادرو.

ومن ثم يمكن وضع معادلة (12.4) على الصورة:

$$A = \frac{\lambda m N_A}{M} \quad (12'.4)$$

من المناسب أحياناً معرفة عدد الانوية الموجودة عند أية لحظة زمنية. ويمكن استنتاج علاقة لذلك باستخدام معادلة (4.11) حيث يمكن كتابتها على الصورة:

$$\frac{dN}{N} = -\lambda dt \quad (11'.4)$$

وبأخذ تكامل هذه المعادلة نجد أن:

$$\int_{N_0}^N \frac{dN}{N} = -\lambda \int_0^t dt$$

حيث

$N_0$  هي عدد الأنوية عند الزمن  $t=0$

$N$  هي عدد الأنوية عند الزمن  $t$

وينتج أن:

$$\ln \frac{N}{N_0} = -\lambda t$$

أى أن:

$$N = N_0 e^{-\lambda t} \quad (14.4)$$

لاحظ هنا أن عدد الأنوية  $N$  عند أية لحظة زمنية يتناقص أسيّاً مع الزمن. كما ويمكن استخدام المعادلة (4.14) للحصول على علاقة تعطي الفاعلية الاشعاعية كدالة في الزمن، وذلك بضرب طرف هذه المعادلة

في  $\lambda$  وينتج أن:

$$\lambda N = \lambda N_0 e^{-\lambda t}$$

أي أن:

$$A = A_0 e^{-\lambda t} \quad (15.4)$$

حيث:

$A_0$ ,  $A$  هي الفاعلية الاشعاعية عند الزمن ( $t=0$ ), وعند أية لحظة زمنية ( $t$ ) على الترتيب

### 1. عمر النصف Half - Life ( $t_{1/2}$ ):

ويعرف بأنه الزمن اللازم كي تقل الفاعلية إلى نصف قيمتها.

$$N = \frac{N_0}{2} \text{ فإن } t = t_{1/2}$$

وباستخدام معادلة (14.4) فإن:

$$\begin{aligned} \frac{1}{2} N_0 &= N_0 e^{-\lambda t_{1/2}} \\ \frac{1}{2} &= e^{-\lambda t_{1/2}} \rightarrow 2 = e^{\lambda t_{1/2}} \\ \ln \frac{1}{2} &= -\lambda t_{1/2} \quad t_{1/2} = \frac{\ln 2}{\lambda} \\ &= -0.693 \\ t_{1/2} &= \frac{0.693}{\lambda} \end{aligned} \quad (16.4)$$

هذه هي العلاقة التي يمكن بواسطتها تعين  $\lambda$  إذا تم تعين  $t_{1/2}$  والعكس صحيح.

عند دراسة النشاط الاشعاعي للمواد تعطي قيمة  $t_{1/2}$  وبالتالي يمكن كتابة معادلة (4.15) على الصورة:

$$A = A_0 e^{-\frac{0.693 t}{t_{1/2}}} \quad (17.4)$$

### 2. متوسط العمر Mean life ( $\tau$ ):

تبين المعادلة السابقة أن الفاعلية الاشعاعية هي دالة اسية في

الزمن وبالتالي فعندما يأخذ الزمن قيمة لانهائية فإن الفاعلية تهبط إلى الصفر. وفي حقيقة الأمر إذا كان لدينا عينة من مادة مشعة فنحن لا نعرف على وجه التحديد أي نواة سوف تتحلل بعد لحظة زمنية معينة وهذا يعني أن العمر الزمني لنواة بعينها يتراوح بين الصفر وبين ما لا نهاية وبالتالي علينا أن نعرف متوسط العمر  $\tau$  للنواة الواحدة . فإذا كان لدينا  $dN$  نواة لها عمر قدره  $t_1$  و  $dN_2$  لها عمر قدره  $t_2$  وهكذا ... فإن متوسط العمر  $\tau$  هو عبارة عن مجموع اعمار كل الأنواع مقسوماً على عددها أي أن:

$$\tau = \frac{t_1 dN_1 + t_2 dN_2 + \dots}{dN_1 + dN_2 + \dots} \quad (18.4)$$

$$= \frac{\sum t dN}{\sum dN}$$

$$= \frac{\int_0^{N_0} t dN}{\int_0^N dN}$$

$$= \frac{\int_0^{N_0} t dN}{N_0} \quad (19.4)$$

حيث  $N_0$  تساوي مجموع  $\dots + dN_2 + dN_1$  وباستخدام معادلة (4.14) نجد أن:

$$dN = -\lambda N_0 e^{-\lambda t} dt$$

وبالتعويض في معادلة (4.19) نجد أن:

$$\tau = \frac{-1}{N_0} \int_{\infty}^0 \lambda N_0 t e^{-\lambda t} dt$$

$$= \lambda \int_0^{\infty} t e^{-\lambda t} dt \quad (20.4)$$

ولحل هذه المعادلة فإننا نلجأ إلى التكاملات العيارية. فمن المعروف

أن:

$$\int_0^{\infty} v^3 e^{-\lambda v^2} dv = \frac{1}{2\lambda^2} \quad (21.4)$$

وبالتالي سنحاول وضع العلاقة (4.20) على هذه الصورة وذلك بكتابة:

$$t = v^2, \quad v = \sqrt{t}$$

$$\therefore dt = 2v dv$$

وبالتعويض عن  $t$  في معادلة (4.20) ينتج أن:

$$\begin{aligned} \int_0^{\infty} t e^{-\lambda t} dt &= \int_0^{\infty} v^2 e^{-\lambda v^2} 2v dv \\ &= 2 \int_0^{\infty} v^3 e^{-\lambda v^2} dv \\ &= \frac{2}{2\lambda^2} = \frac{1}{\lambda^2} \end{aligned}$$

ومن معادلة (4.20) نجد أن:

$$\tau = \lambda \cdot \frac{1}{\lambda^2} \quad (22.4)$$

$$\therefore \tau = \frac{1}{\lambda}$$

أي أن متوسط عمر النواة الواحدة أكبر من عمر النصف للمادة المشعة كل، لاحظ أن:

$$t_{1/2} = \frac{0.693}{\lambda}$$

ومن معادلة (22) ينتج أن:

$$\tau = \frac{t_{1/2}}{0.693} = 1.44 t_{1/2} \quad (23.4)$$

3. عمر النصف الفعلي ( $\tau_{eff}$ ) : The effective half-life  
Nuclear Medicine فروع الطب يعرف بالطب النووي

بل لقد تم استخدام أشعة X في التشخيص الطبي منذ أمد بعيد . كما ويستخدم حالياً أشعاع γ في علاج الأورام السرطانية وغيرها . ولا تزال التجارب العلمية والطبية تجرى تباعاً لاستخدام آلات تصوير وتشخيص طبية باستخدام أشعاعات النيوترونات والبوزيترونات بالإضافة إلى آلات التشخيص باستخدام الرنين النووي المغناطيسي (NMR) Nuclear Magnetic Resonance.

ان العلاج أو التشخيص باستخدام الاشعة يستدعي أحياناً إدخال المادة المشعة داخل جسم الانسان ، علاج العضو المصاب . وعند مراقبة النشاط الشعاعي للمادة المشعة المزروعة في الجسم يمكن تكوين فكرة عن نشاط ذلك العضو . وفي واقع الأمر فإن الفاعلية الاشعاعية المقاومة

تعتبر محصلة تفاعلين رئيسيين :

- الفاعلية الاشعاعية الطبيعية للمادة المشعة كما لو كانت موجودة خارج الجسم وهذه لا تتأثر بكون المادة المشعة داخل جسم الانسان أو خارجه . وهذه تحدد وفق عمر النصف الطبيعي ( $\tau$ ) للمادة المشعة .

- إن النشاط الحيوي Biological Activity للجسم يؤدي إلى استخراج Extraction المادة المشعة من الجسم حسب النشاط الحيوي ووظيفة العضو تحت العلاج . ومن ثم نعرف هنا عمر النصف البيولوجي Bilological half-life ونرمز له بالرمز ( $\tau_b$ ) وهو يتعلق بتناقص المادة

المادة الناتج عن النشاط الحيوي للعضو المصاب . ومن ثم فإننا نجد أن عمر النصف الفعلي للمادة المشعة تحت الدراسة سينتج عن محصلة التفاعلين السابقين وبالتالي ندخل

مفهوم عمر الفعلي ( $\tau_{eff}$ ) الذي يعطى بالعلاقة :

$$\frac{1}{\tau_{eff}} = \frac{1}{\tau} + \frac{1}{\tau_b} \quad (24.4)$$

أي أن :

$$\tau_{eff} = \frac{\tau \cdot \tau_b}{\tau + \tau_b} \quad (24.4)$$

(رسالة توكار)

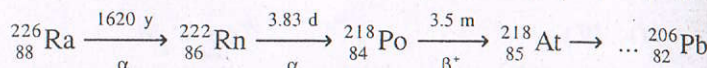
بالجزء

## الشكل الاستهلاع المتسابع :

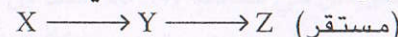
### 5.4 الانحلال الاشعاعي المتلاحق:

في بعض المواد المشعة سواءً المضرة صناعياً أو الموجودة طبيعياً نجد أن هذه المواد تقوم بانحلالات متلاحقة فمثلاً إذا كان لدينا نظير معيناً فإنه يتحول إلى نظير آخر ثم يتحلل الأخير إلى آخر.. وهكذا حتى تتوقف السلسلة عند عنصر مستقر.

فإذا أخذنا نظير الراديوم 226 نجد أنه يتحلل إلى الرادون الذي يتحلل بدوره إلى البولونيوم الذي يتحلل إلى الاستاتين وهذا تستمر السلسلة حتى تتوقف عند عنصر الرصاص المستقر (206) (انظر فيما بعد). وذلك وفق العلاقة:



وما نحن بصدده الأن هو حساب معدل تحلل كل من هذه النظائر المتلاحقة وعدد الانوية المتواجدة عند آية لحظة زمنية وللهولة سنفرض أولاً أن لدينا نظير معيناً X يتحلل إلى النظير Y الذي يتحلل بدوره إلى النظير Z المستقر. أي أن:



ويكون عدد أنوية كل نظير عند زمن معين t هو  $N_1, N_2, N_3$  على الترتيب. وحيث أنها بدأنا بالنظير (X) فإنه يسمى بالنظير الوالد (Parent) أما النواة (y) فتسمى بالنواة الوليدة (Daughter) وكذلك النواة (Z).

يبين الشكل (4.6) رسمياً توضيحاً لما يحدث، حيث يتحلل X إلى Y الذي يتحلل بدوره إلى Z المستقر . قمنا بتمثيل كل نظير على شكل آناء به سائل يتذبذب من صنبور يتحكم في سرعة التدفق ، وهذا الصنبور عبارة عن ثابت الانحلال λ.

عندما يتحلل النظير X فإن فاعليته الاشعاعية  $\frac{dN_1}{dt}$  تعطى بالعلاقة:

$$\frac{dN_1}{dt} = -\lambda_1 N_1 \quad (27.4)$$

حيث

عدد الانوية الموجودة عن آية لحظة زمنية

$N_1$

### 4.4 وحدات قياس الفاعلية الاشعاعية:

ان ما يهمنا عند دراسة الاشعاع هو معرفة عدد الانحلالات disintegrations في الثانية الواحدة. وبالتالي ستكون وحدة قياس الفاعلية الاشعاعية عن هذا العدد.

لنفترض أن لدينا 1 جرام من الراديوم 226 (بعمر نصف قدرة y 1620) فإنه يمكن حساب عدد الانحلالات الناتجة في الثانية عن هذه العينة، حيث:

$$A = \lambda N \\ = \frac{0.693}{\tau} \frac{m}{M} N_A$$

حيث:

$$m = 1g = 10^{-3} \text{ Kg}, M = 226 \\ N_A = 6.02 \times 10^{26} / \text{Kmol}$$

فإن:

$$A = \frac{0.693 \times 10^{-3} \times 6.02 \times 10^{26}}{1620 \times 365 \times 24 \times 3600 \times 226} \\ \cong 3.7 \times 10^{10} \text{ dis/s}$$

أي أن الفاعلية الاشعاعية الناتجة عن جرام واحد من الراديوم تساوي تقريباً  $3.7 \times 10^{10} \text{ dis/s}$  وأسباب تاريخية عرفت هذه الكمية بالكوري (Ci) أي أن:

$$1 \text{ Ci} = 3.7 \times 10^{10} \text{ dis/s}$$

كما وتوجد وحدات أخرى أصغر من الكوري حيث:

$$1 \text{ m Ci} = 3.7 \times 10^7 \text{ dis/s} = 1 \times 10^{-3} \text{ Ci}$$

$$1 \mu \text{ Ci} = 3.7 \times 10^4 \text{ dis/s} = 1 \times 10^{-6} \text{ Ci}$$

وهذه هي وحدات قياس الفاعلية الاشعاعية.

ولقد استخدمت حديثاً وحدة أخرى حسب النظام العالمي للوحدات (SI) حيث أخذت الوحدة بيكوريل لتكون وحدة قياس الفاعلية حيث:

$$1 \text{ Bq} = 1 \text{ dis/s} \quad (25.4)$$

ومن ثم فإن:

$$1 \text{ Ci} = 3.7 \times 10^{10} \text{ Bq} \quad (26.4)$$

أما العنصر Z فإن معدل تكوينه فيساوي معدل تحلل العنصر Y أي  
أن:

$$\checkmark \frac{dN_3}{dt} = \lambda_2 N_2 \quad (29.4)$$

وسوف نستنتج حلول هذه المعادلات الثلاث السابقة.

اما المعادلة (4.27) فقد استنطقت حلها فيما سبق (4.14) حيث:

$$N_1 = N_{10} e^{-\lambda_1 t} \quad (14'.4)$$

حيث  $N_{10}$  عدد الانوية المتواجدة عند الزمن  $t=0$   
اما المعادلة (4.28) فسنفترض أن حلها يمكن وضعه على الصورة:

$$N_2 = x e^{-\lambda_2 t} \quad (30.4)$$

حيث  $x$  دالة في الزمن ( $t$ ).

وبتفاضل هذه المعادلة بالنسبة للزمن ينتج أن:

$$\frac{dN_2}{dt} = -\lambda_2 x e^{-\lambda_2 t} + e^{-\lambda_2 t} \frac{dx}{dt}$$

وبالتعويض في معادلة (4.28) نجد أن:

$$-\lambda_2 x e^{-\lambda_2 t} + e^{-\lambda_2 t} \frac{dx}{dt} = \lambda_1 N_1 - \lambda_2 x e^{-\lambda_2 t}$$

$$\therefore \lambda_1 N_1 = e^{-\lambda_2 t} \frac{dx}{dt}$$

$$\frac{dx}{dt} = \lambda_1 N_1 e^{\lambda_2 t}$$

وبالتعويض الأن عن قيمة  $N_1$  من معادلة (4.14') وينتج أن:

$$\frac{dx}{dt} = \lambda_1 N_{10} e^{-t(\lambda_1 - \lambda_2)}$$

وبأخذ التكامل نجد أن:

$$x = \frac{\lambda_1 N_{10}}{\lambda_2 - \lambda_1} e^{-t(\lambda_1 - \lambda_2)} + C$$

حيث  $C$  ثابت معين.

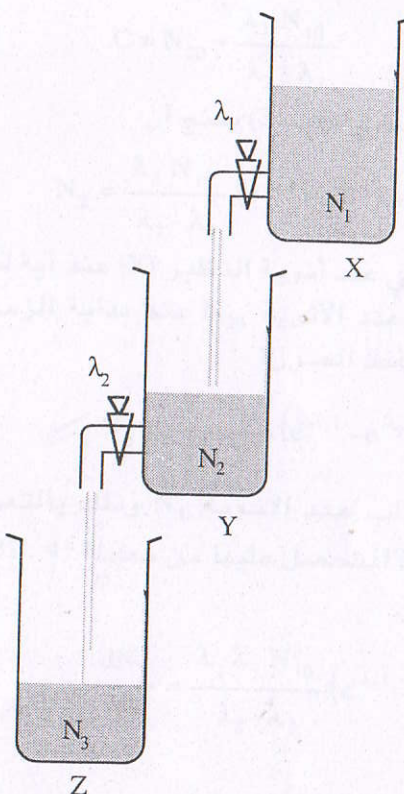
وبالتعويض في معادلة (4.30) ينتج أن:

$$N_2 = \frac{\lambda_1 N_{10}}{\lambda_2 - \lambda_1} e^{\lambda_1 t} + C e^{\lambda_2 t} \quad (31.4)$$

أما بالنسبة للنظير Y فإن:

$$\checkmark \frac{dN_2}{dt} = +\lambda_1 N_1 - \lambda_2 N_2 \quad (28.4)$$

حيث  
 $N_2$   
 $\lambda_2$   
ثابت الانحلال له.



الشكل (4.6) رسم توضيحي للانحلال المتلاحق

لاحظ أن معدل تكوين النظير Y يساوي معدل تكوينه ( $\lambda_1 N_1$ )

$$-\lambda_2 N_2$$

فإن  $N_3 = 0$  وينتظر أن:

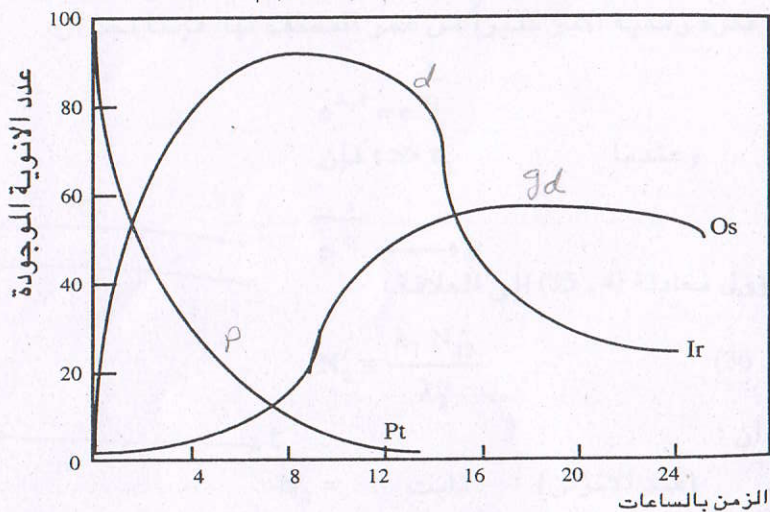
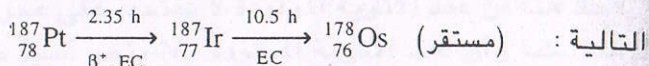
$$C = N_{10}$$

وبالتعويض في المعادلة السابقة ينتهي أن:

$$\checkmark N_3 = N_{10} \left[ \frac{\lambda_1 e^{\lambda_2 t} - \lambda_2 e^{\lambda_1 t}}{\lambda_2 - \lambda_1} + 1 \right] \quad (33.4)$$

وهذه المعادلة تعطي عدد الأنوبي المتولدة في العنصر المستقر عند أية لحظة زمنية.

يبين الشكل (7.4) مثلاً عملياً على التحلل المتلاحم في السلسلة



الشكل (7.4) تحلل البستينيوم إلى الاريديوم إلى الاوزميوم

نجد أن البستينيوم  $\text{Pt}^{+}$  يتحلل بواسطة اطلاق أشعة  $\beta^+$  والاسر الالكتروني إلى الاريديوم بعمر نصف قدره 2.35 ساعة ثم يتحلل الاريديوم  $\text{Ir}^{+}$  بواسطة الأسر الالكتروني بعمر نصف قدره 10.5 ساعة إلى الاوزميوم  $\text{Os}^{+}$  وهو عنصر مستقر. فعلى سبيل المثال إذا بدأنا بمائة توأمة من البستينيوم بينما عدد أنوبي الاريديوم والأوزميوم يساوي صفرًا فإنه مع مرور الوقت تهبط عدد أنوبي البستينيوم أسيًا

ويمكن تعريف الثابت  $C$  حسب الشروط الابتدائية. فإذا افترضنا أن عدد الأنوبي  $N_2$  يساوي  $N_{20}$  عندما  $t = 0$  فإن:

$$\checkmark N_{20} = \frac{\lambda_1 N_{10}}{\lambda_2 - \lambda_1} + C$$

$$C = N_{20} - \frac{\lambda_1 N_{10}}{\lambda_2 - \lambda_1}$$

وبالتعويض في معادلة (31) ينتهي أن:

$$\checkmark N_2 = \frac{\lambda_1 N_{10}}{\lambda_2 - \lambda_1} (e^{-\lambda_1 t} - e^{-\lambda_2 t}) + N_{20} e^{-\lambda_2 t} \quad (32.4)$$

وهذه المعادلة تعطي عدد أنيون النظير ( $Y$ ) عند أية لحظة زمنية ( $t$ ). لاحظ أنه إذا كان عدد الأنيون  $N_{20}$  عند بداية الزمن يساوي صفرًا فإن معادلة (32.4) تأخذ الصورة:

$$\checkmark N_2 = \frac{\lambda_1 N_{10}}{\lambda_2 - \lambda_1} (e^{-\lambda_1 t} - e^{-\lambda_2 t}) \quad (32'.4)$$

كما ويمكن حساب عدد الأنيون  $N_3$  وذلك بالتعويض في معادلة (29.4) عن قيمة  $N_2$  المتحصل عليها من معادلة (32'.4) وينتهي أن:

$$\frac{dN_3}{dt} = \frac{\lambda_1 \lambda_2 N_{10}}{\lambda_2 - \lambda_1} (e^{-\lambda_1 t} - e^{-\lambda_2 t})$$

وبأخذ تكامل هذه المعادلة ينتهي أن:

$$\checkmark N_3 = \frac{\lambda_1 \lambda_2 N_{10}}{\lambda_2 - \lambda_1} \left( \frac{e^{-\lambda_1 t}}{-\lambda_1} - \frac{e^{-\lambda_2 t}}{-\lambda_2} \right) + C$$

النصف للنواة المولودة أي أن  $\tau_2 > \tau_1$  فإن عدد الانوية  $N_2$  للنواة المولودة والمعطاة بالعلاقة (32). يمكن أن يعطى بالعلاقة المعدلة:

$$N_2 \cong \frac{\lambda_1 N_{10}}{\lambda_2} (1 - e^{-\lambda_2 t}) \quad (35.4)$$

حيث اهملت  $\lambda_1$  بالنسبة إلى  $\lambda_2$  من المقام، أما  $e^{-\lambda_2 t}$  فهي كمية تؤول إلى العدد 1.

لاحظ هنا أن عدد الانوية المولودة لا يعتمد على عمر النصف للنواة الوالدة. كما وأن عدد الانوية المولودة  $N_2$  ينمو أسيًا مع الزمن. وعند مرور فترة زمنية أكبر كثيراً من عمر النصف لها فإننا نجد أن:

$$e^{-\lambda_2 t} = e^{-\frac{t}{\tau_2}}$$

وعندما

$$\frac{t}{\tau_2} \longrightarrow 0$$

وتؤول معادلة (35.4) إلى العلاقة:

$$N'_2 \cong \frac{\lambda_1 N_{10}}{\lambda_2} \quad (36.4)$$

أي أن :

(عند الاتزان) ثابت  $N'_2 =$

وذلك لأن  $N_{10}$  هي عدد الانوية الوالدة عند بداية الزمن.

وهذا يعني أن عدد الانوية المولودة يصل إلى مقدار ثابت  $N'_2$ . وهذا تحدث عن الاتزان الشعاعي بين عدد الانوية المولودة والوالدة والذي يسمى بالاتزان الدائم.

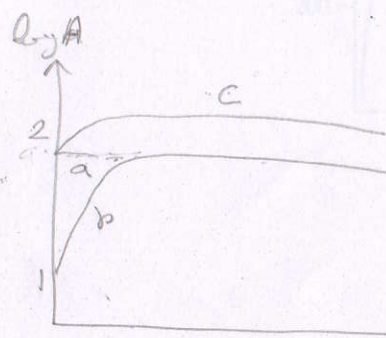
$$N_1 = N_{10} e^{\lambda_1 t}$$

لاحظ أن:

وحيث أن  $\lambda_1$  صغيرة فإن  $e^{\lambda_1 t} = 1$  كما أشرنا سابقاً وبالتالي فإن:

$$N_1 \cong N_{10}$$

وبالتعبير، عن ذلك فـ، معادلة (36.4) تحد أـ:



وفقاً لمعادلة (4.14) أما عدد انوية الأريديوم فيأخذ في النمو حتى يصل إلى قيمة عظمى ثم يأخذ هو الآخر في التناقص أسيًا مع الزمن حيث يعتمد ذلك على عمر النصف له وذلك وفق المعادلة (32). أما بالنسبة للأوزميوم فتأخذ عدد انويته في الزيادة مع مرور الزمن وذلك وفق معادلة (33.4).

وبصورة عامة يمكن إيجاد علاقة عامة لعطاء معادلات تفاضلية لتعبر عن معدل تحلل أي نظير في السلسلة وذلك بالمقارنة مع معادلتي (4.27)، (4.28). أي أن:

$$\begin{aligned} \text{الإتمام} \quad \frac{dN_1}{dt} &= -\lambda_1 N_1 \\ \text{الابتداء} \quad \frac{dN_2}{dt} &= +\lambda_1 N_1 - \lambda_2 N_2 \\ \text{الخطين} \quad \frac{dN_3}{dt} &= +\lambda_2 N_2 - \lambda_3 N_3 \end{aligned} \quad (34.4)$$

$$\frac{dN_n}{dt} = -\lambda_{n-1} N_{n-1} - \lambda_n N_n$$

حيث  $N_1, N_2, N_3, \dots, N_n$  عدد انوية أي نظير في السلسلة عند الزمن  $t$ .  $\lambda_1, \lambda_2, \lambda_3, \dots, \lambda_n$  ثابت التحلل لها.

وبحل هذه المعادلات مع بعضها البعض بطريقة مماثلة لما سبق يمكن إيجاد عدد انوية أي نظير عند أية لحظة زمنية.

#### 6.4 الاتزان الشعاعي

سنتناول الأن بعض الحالات الخاصة لايجاد عدد انوية النظائر المختلفة في سلسلة معينة: وسنتناول بالدراسة حالتين:

أ) عندما  $\tau_2 > \tau_1$  يحدث الاتزان الدائم أو الوراثي.

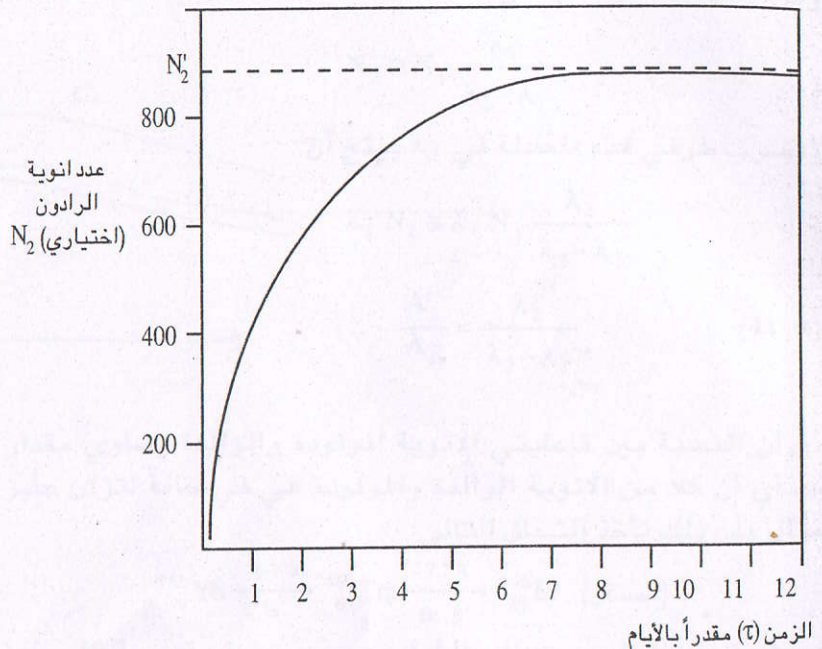
ب) عندما  $\tau_2 < \tau_1$  يحدث الاتزان العابر.

الأدبي

1. الاتزان الدائم أو الوراثي Secular Equilibrium

حيث  $\tau_2 > \tau_1$  للنواة الابنة

يبين الشكل (4 . 8) نمو واتزان الرادون في عينة نقية من الراديوم.



الشكل (4 . 8) نمو واتزان الراديوم

حيث نجد أن غاز الرادون يأخذ في النمو في العينة وذلك وفق العلاقة (35 . 4) وعمر النصف ( $\tau_2$ ) التي يمكن أن نكتبها بدلالة عدد الأئنوية عند الاتزان ( $N'_2$ ) أي أن:

$$N_2 = N'_2 \left( 1 - e^{-\frac{t}{\tau_2}} \right) \quad (40 . 4)$$

باستخدام معادلة (40 . 4) يمكن حساب  $N_2$  عندما  $t = 2\tau_2, t = 3\tau_2, t = 4\tau_2$  وهكذا. حيث نجد أنه عندما  $t > 4\tau_2$  فإن  $N_2$  تؤول إلى  $N'_2$  أي أن عدد الأئنوية يصل إلى قيمة ثابتة تساوي عددها عند الاتزان وذلك ما يتضح من الشكل (4 . 8) لاحظ أنه إذا كانت النواة الثانية مشعة هي الأخرى

$$N'_2 \cong \frac{\lambda_1 N_1}{\lambda_2}$$

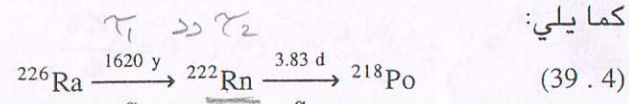
أي أن:

$$\lambda_1 N_1 = \lambda_2 N'_2 \quad (37 . 4)$$

أي أن:

$$A_1 = A_2 \quad (38 . 4)$$

أي أن فاعلية التقطير الوارد تساوي فاعلية التقطير المولود . وذلك عند حدوث الاتزان الدائم أو الوراثي .  
وكمثال على هذا الاتزان نأخذ تحلل الراديوم إلى الرادون الذي يتخلل بدوره إلى البولونيوم كما يلي:



فالراديوم يتخلل عن طريق اشعة  $\alpha$  إلى الرادون بعمر نصف قدرة 1620y وفور تكون الرادون يأخذ هو الآخر في التخلل إلى البولونيوم عن طريق اطلاق جسيمات  $\alpha$  ولكن بعمر نصف قدرة 3.83 يوماً (أي أن  $\tau_2 >> \tau_1$ ). وبالتالي فإن الرادون يتولد بمعدل قدره  $\lambda_1 N_1$  (معدل تحلل الراديوم) بينما يتخلل الرادون بمعدل قدره  $\lambda_2 N_2$  وعند مرور فترة زمنية كافية يصبح معدل التولد متساوياً لمعدل التخلل ونصل إلى مرحلة الاتزان الشعاعي أي أن:

$$\lambda_2 N'_2 = \lambda_1 N_1$$

$$\lambda_2 N'_2 = \lambda_1 N_{10} e^{\lambda_1 t}$$

وحيث أن  $\lambda_1$  صغيرة جداً فإن  $\lambda_1 t$  كمية صغيرة وبالتالي فإن  $e^{\lambda_1 t}$  تؤول إلى الوحدة وبالتالي فإن:

$$\lambda_2 N'_2 = \lambda_1 N_{10}$$

أي أن  $N'_2$  تساوي مقداراً ثابتاً وهذا ما استنتجناه من معادلة (36 . 4) وهذا يعني أننا لو بدأنا بعينة نقية من الراديوم فإننا نجد أنه مع مرور الوقت يبدأ الرادون في التكون حتى يصل إلى قيمة ثابتة

# Ex 1

ثابت وبالتالي نجد أن جميع أعضاء السلسلة الشعاعية - باستثناء النظير الأخير - ستصل إلى اتزان اشعاعي كل مع الآخر هذا بافتراض أن عمر النصف للوالد الأول كبير جداً.

التوازن الانسحابي :

## 2. الاتزان العابر Transient Equilibrium

لنفرض الأن أن عمر النصف للنواة الوالدة أكبر من عمر النصف للنواة المولودة أي أن  $\tau_2 < \tau_1 (\lambda_2 > \lambda_1)$  مما الذي يحدث عند مرور الزمن؟ سوف تبدأ النواة الوالدة في التحلل بينما يبدأ عدد الأنبوبة المولودة في الازدياد حتى يصل إلى قيمة عظمى ثم يأخذ بعد ذلك في النقصان عندما تتحلل هي الأخرى إلى نواة أخرى... ويمكن اثبات ذلك بمفاضلة معادلة (4.32) بالنسبة للزمن ومساواته بالصفر وينتج أن:

$$\frac{dN_2}{dt} = 0, N_2 = \frac{\lambda_1 N_{10}}{\lambda_2 - \lambda_1} (e^{\lambda_2 t} - e^{\lambda_1 t})$$

$$\frac{dN_2}{dt} = \frac{\lambda_1 N_{10}}{\lambda_2 - \lambda_1} (\lambda_2 e^{-\lambda_2 t_{max}} - \lambda_1 e^{-\lambda_1 t_{max}})$$

أي أن :

$$\frac{\lambda_1 N_{10}}{\lambda_2 - \lambda_1} (\lambda_2 e^{-\lambda_2 t_{max}} - \lambda_1 e^{-\lambda_1 t_{max}}) = 0 \quad (4.41)$$

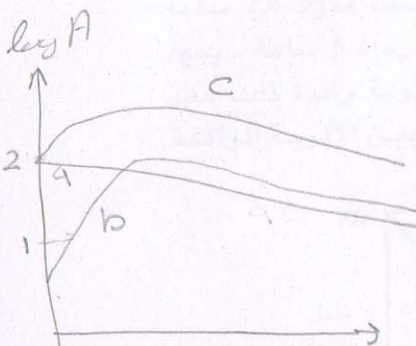
حيث  $e^{\lambda_2 t_{max}} - e^{\lambda_1 t_{max}} \neq 0$

حيث  $t_{max}$  الزمن الذي يصل فيه عدد الأنبوبة الوليدة إلى أقصى قيمة له ومتى ينتهي أن :

$$t_{max} = \frac{1}{\lambda_1 - \lambda_2} \ln \frac{\lambda_1}{\lambda_2} \quad (4.42)$$

بعد هذا الزمن تأخذ الأنبوبة المولودة في التحلل بمعدل معين وبالرجوع مرة أخرى أخرى إلى المعادلة (4.32) نجد أن  $e^{-\lambda_2 t}$  تصبح مقداراً صغيراً يمكن إهماله بالنسبة للمقدار  $e^{\lambda_1 t}$  ( $\lambda_1 > \lambda_2$ ) وبالتالي تؤول هذه المعادلة إلى العلاقة :

$$N_2 \equiv \frac{\lambda_1 N_{10}}{\lambda_2 - \lambda_1} e^{\lambda_1 t} \quad (4.43)$$



أي أن الانوية المولودة تتحلل بثابت تحلل يساوي ثابت تحلل الانوية الوالدة ( $\lambda_1 > \lambda_2$ ) ومن العلاقة السابقة نجد أن:

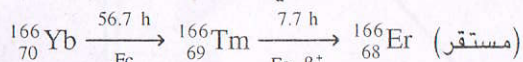
$$N_2 \equiv N_1 \frac{\lambda_1}{\lambda_2 - \lambda_1}$$

وبضرب طرفي هذه المعادلة في  $\lambda_2$  ينتج أن:

$$\lambda_2 N_2 \equiv \lambda_1 N_1 \frac{\lambda_2}{\lambda_2 - \lambda_1}$$

$$\therefore \frac{A_2}{A_1} = \frac{\lambda_2}{\lambda_2 - \lambda_1} \quad (44.4)$$

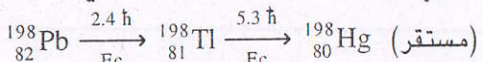
أي أن النسبة بين فاعليتي الانوية المولودة والوالدة يساوي مقدار ثابت أي أن كلاً من الانوية الوالدة والمولودة هي في حالة اتزان عابر وكمثال على ذلك نأخذ التحلل التالي:



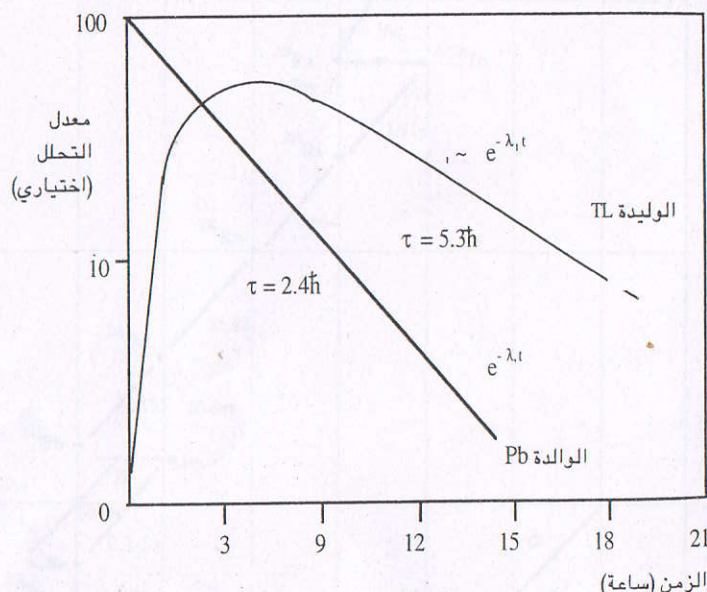
حيث يتتحلل اليتريبيوم إلى الثوليوم بعمر نصف قدره 56.7 ساعة ثم يتتحلل الأخير إلى الإيربيبيوم المستقر بعمر نصف قدره 7.7 ساعة وعند رسم العلاقة بين عدد انوية (معدل تحلل) كل منهما نحصل على شكل مماثل للشكل (4.9) حيث نجد أن الثوليوم ينمو إلى قيمة عظمى وذلك عند زمن  $t_{max}$  (حوالي 18 ساعة) ثم يأخذ في التحلل بمعدل تحلل الانوية الوالدة (اليتريبيوم) أي انه كلاً من الثوليوم واليتريبيوم في حالة اتزان كل مع الآخر.

لنأخذ الأن حالة أخرى وذلك بافتراض أن عمر النصف للنواة الوالدة أصغر من عمر النصف للنواة الوليدة أي أن  $\tau_2 < \tau_1 (\lambda_2 > \lambda_1)$  فماذا سيحدث مع مرور الزمن؟ سوف تبدأ الانوية الوالدة في التحلل بينما يبدأ عدد الأنبوبة المولودة في الازدياد حتى الوصول إلى قيمة عظمى ثم يأخذ في النقصان عندما تتحلل هي الأخرى إلى انوية ثالثة. وذلك كما بینا فيما سبق (معادلة 4.42).

وكمثال عملي على ذلك نأخذ التحلل التالي:

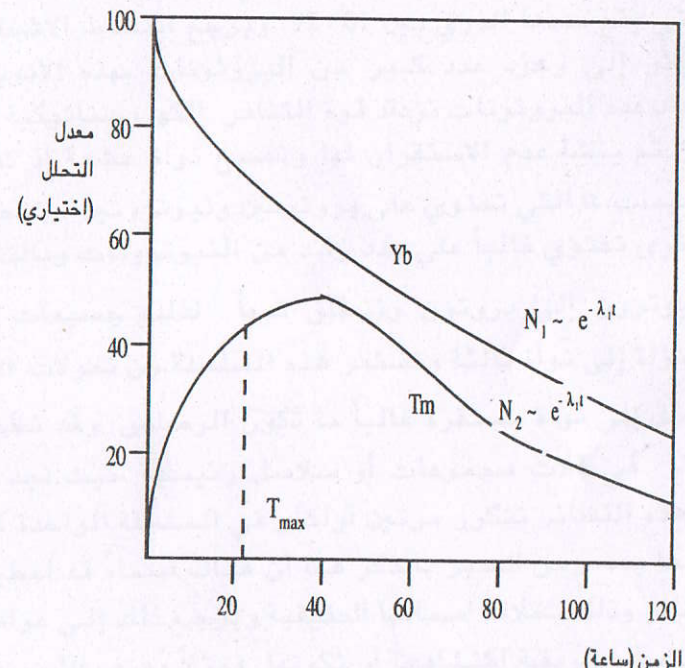


حيث يتحلل الرصاص إلى الثاليلوم بعمر نصف قدره 2.4 ساعة بينما يتحلل الأخير إلى الزئبق بعمر نصف قدره 5.3 ساعة . يبين الشكل (4 . 10) نمو وتحلل الأنوية الوليدة من انبوية والدة ذات عمر نصف قصير. لاحظ هنا أنه لا يوجد اتزان بالمرة بين الانوية الوليدة



الشكل (4 . 10) نمو وتحلل الأنوية الوليدة من انبوية ذات عمر نصف قصير

والوليدة إذ أن كلاً منها تتحلل بثابت تحلل خاص بها . كما ونلاحظ هنا أنه نظراً لقصر عمر الانوية والدة فإن عددها يهبط بسرعة إلى قيمة مهملة بينما مع مرور زمن يساوي عدة مرات من عمر النصف له تصبح الفاعلية الكلية للعينة هي تلك الناتجة عن الانوية الوليدة، كما يتضح من الشكل (4 . 10).



الشكل (4 . 9) نمو وتحلل الأنوية الوليدة والازان العابر مع الانوية والدة

وبالرجوع الى معادلة (4 . 32) يمكن استنتاج عدد الانوية  $N_2'$  وذلك عندما  $\lambda_2 > \lambda_1$  حيث نجد أنه يمكننا الأن اهمال الحد  $e^{-\lambda_1 t}$  بالنسبة للحد  $e^{-\lambda_2 t}$  وينتج أن:

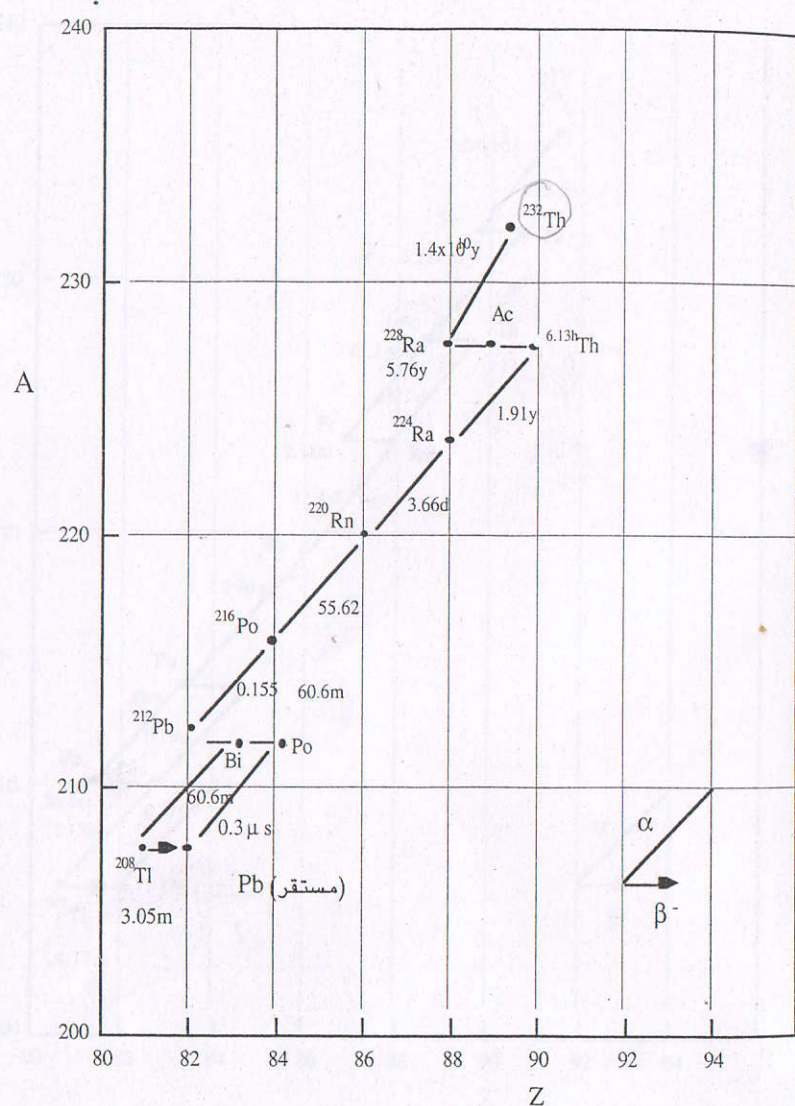
$$N_2' \approx \frac{\lambda_1 N_{10}}{\lambda_1 - \lambda_2} e^{-\lambda_2 t} \quad (45 . 4)$$

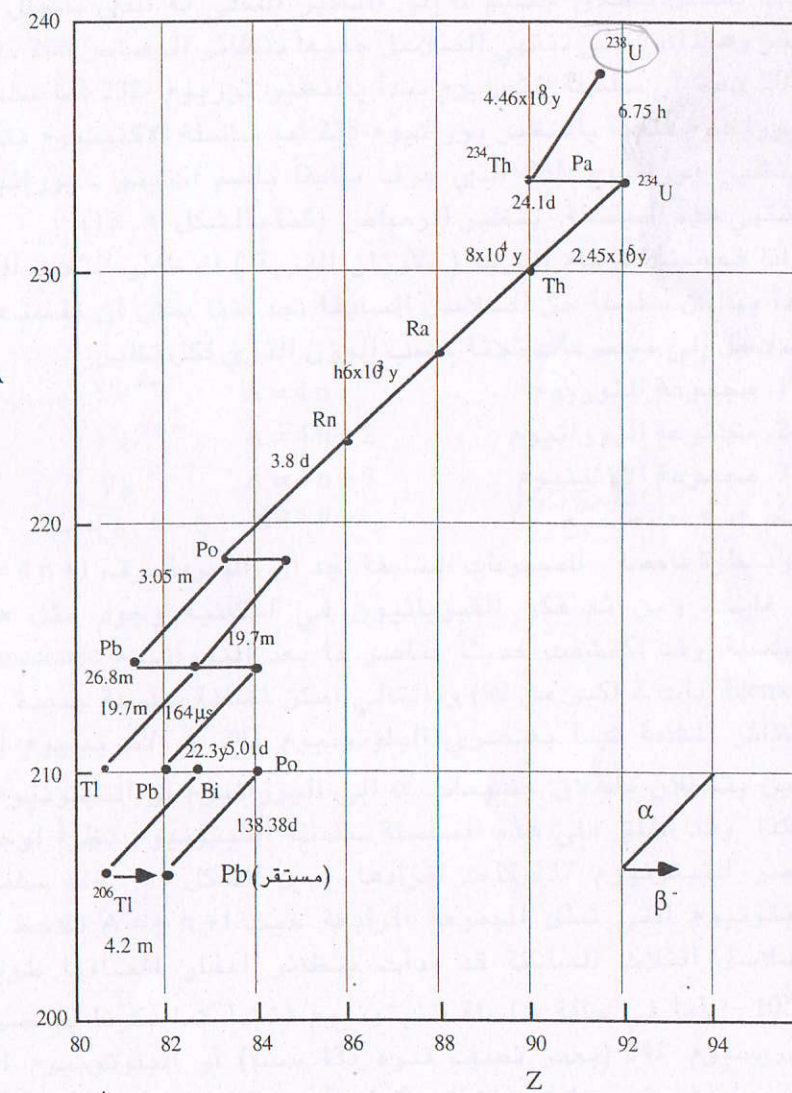
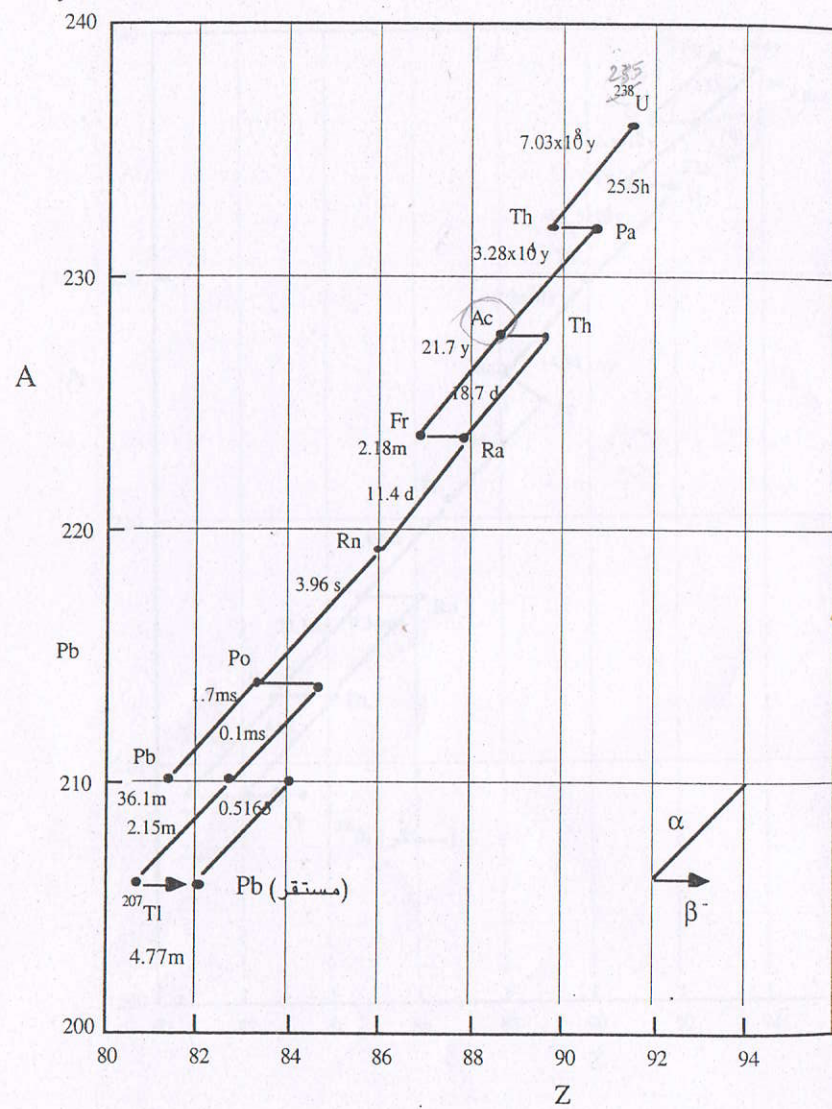
ماذا تعني هذه المعادلة؟  
نلاحظ هنا أن معدل تحلل  $N_2$  يعتمد على ثابت التحلل الخاص بها ( $\lambda_2$ ) وليس ذلك الخاص بالنوءة والدة (ونذلك بالمقارنة مع المعادلة (43.4)).

#### السلسل الاشعاعية الطبيعية

٧.٤

هناك العديد من النظائر المشعة الموجودة في الطبيعة ، وخاصة تلك النظائر التي يقع عددها الذري بين ٨١ ، ٩٢ . ويرجع النشاط الاشعاعي لتلك النظائر إلى وجود عدد كبير من البروتونات بهذه الأنوية . وعندما يزداد عدد البروتونات تزداد قوة التناصر الكهروستاتيكية في النواة ومن ثم ينشأ عدم الاستقرار لها وتصبح نواة مشعة إذ تقوم باطلاق جسيمات  $\alpha$  التي تحتوي على بروتونين ونيوترونين . وتحول إلى نواة أخرى تحتوي غالباً على عدد زائد من النيوترونات وبالتالي يتحول النيutron إلى بروتون وتنطلق تبعاً لذلك جسيمات  $\beta^-$  وتحول النواة إلى نواة ثالثة و تستمر هذه السلسلة من تحولات  $\alpha$  ثم  $\beta^-$  حتى تصل إلى نواة مستقرة غالباً ما تكون الرصاص وقد نظمت هذه النظائر في ثلاثة مجموعات أو سلاسل رئيسية حيث نجد أن الكثير من هذه النظائر تتكرر مرتين أو أكثر في السلسلة الواحدة كما سيتضح فيما بعد . ومن الجدير بالذكر هنا أن هناك اسماءً قد اعطيت لبعض النظائر وذلك بخلاف اسمائها الحقيقية ويرجع ذلك إلى عوامل تاريخية ترتبط بطريقة اكتشافها أو تكونها . فمثلاً يعرف الثوريوم - ٢٣٤ باليورانيوم  $_1\text{UX}$  . نبني في الاشكال ( ١١ ، ١٢ ، ٤ ) سلاسل الثوريوم واليورانيوم والاكتينيوم ، على الترتيب .



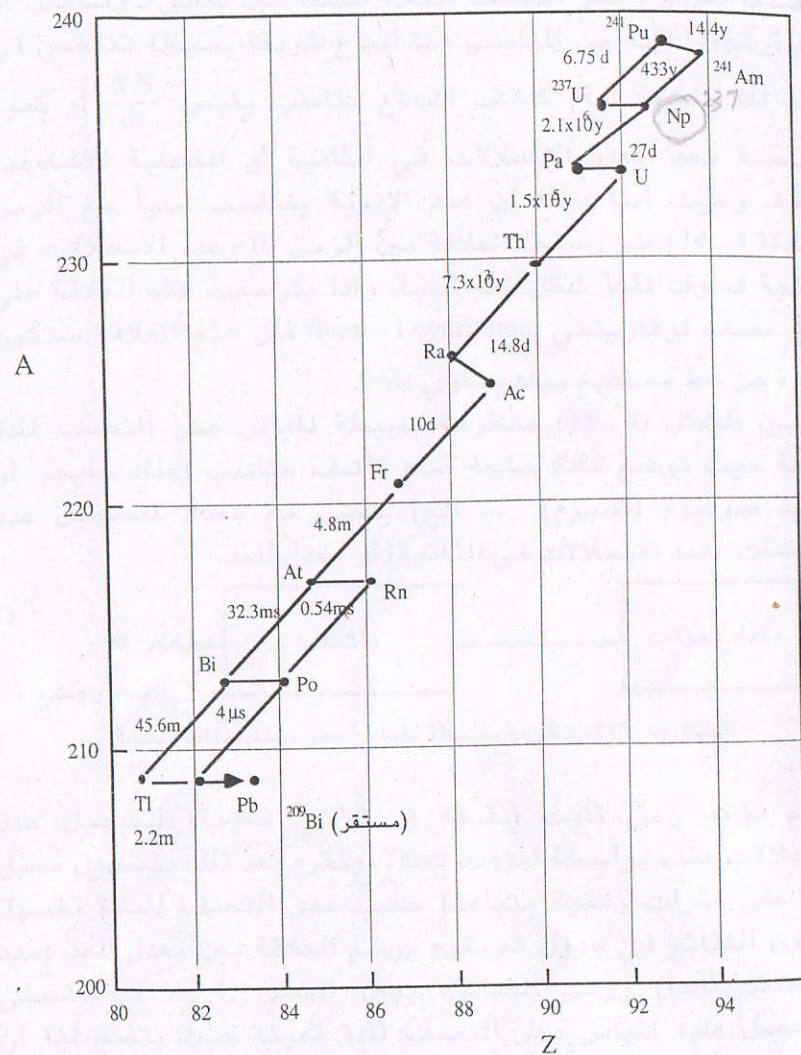


لاحظ أن كل سلسلة من هذه السلالس تبدأ بنظير عمر النصف له كبير حيث يتحلل باطلاق جسيم  $\alpha$  إلى النظير التالي له الذي يتحلل هو الآخر وهكذا... حتى تنتهي السلسلة جميعاً بنظائر الرصاص 208 ، 209 ، 207 لاحظ أن سلسلة الثوريوم تبدأ بالنظير ثوريوم 232 أما سلسلة اليورانيوم فتبدأ بالنظير يورانيوم 235 الذي عرف سابقاً باسم اكتينو - يورانيوم وتنتهي هذه السلسلة بنظير الرصاص (كما بالشكل 4.13).

إذا فحصنا الأرقام الذرية (الأوزان الذرية) للنظائر الثلاث التي تبدأ بها كل سلسلة من السلالس السابقة تجد أننا يمكن أن نقسم هذه السلسل إلى مجموعات ثلاثة حسب الوزن الذري لكل نظير:

- 1. مجموعة الثوريوم  $A = 4n$
- 2. مجموعة اليورانيوم  $A = 4n+2$
- 3. مجموعة الاكتينيوم  $A = 4n+3$
- حيث  $n$  عدد صحيح.

وبنظرة فاحصة للمجموعات السابقة نجد أن المجموعة برقم قد غابت، ومن ثم فكر الفيزيائيون في امكانية وجود مثل هذه السلسلة. وقد اكتشفت حديثاً عنصراً ما بعد اليورانيوم Transuranic Elements (ذات  $Z$  أكبر من 92) وبالتالي أمكن اضافة سلسلة جديدة من النظائر المشعة تبدأ بعنصري البلوتونيوم 241 أو الأمريسيوم 241 الذين يتحللان باطلاق جسيمات  $\alpha$  إلى اليورانيوم أو النبتونيوم... وهكذا. وقد اطلق على هذه السلسلة سلسلة النبتونيوم نظراً لوجود عنصر النبتونيوم 237 كحاد افرادها. يبين الشكل (4.14) سلسلة النبتونيوم التي تمثل المجموعة الرابعة حيث  $A = 4n+1$  نلاحظ أن السلسلة الثلاث السابقة قد بدأت بنظائر اعمار انصافها طويلة ( $y \sim 10^9$ ) أما في حالة سلسلة النبتونيوم فتبدأ كما ذكرنا بعنصري الأمريسيوم 241 (بعمر نصف قدره 433 سنة) أو البلوتونيوم 241 (بعمر نصف قدره 14.4 سنة)، كما وأن عمر النصف للنبتونيوم يساوي  $2.1 \times 10^6$  سنة وهو قصير نسبياً بالمقارنة مع اعمار النصف للنظائر الوالدة للسلالس الثلاث السابقة. إن ذلك نتج عنه غياب مجموعة النبتونيوم في الطبيعة وذلك لأنها قد تحلت واختفت أثناء

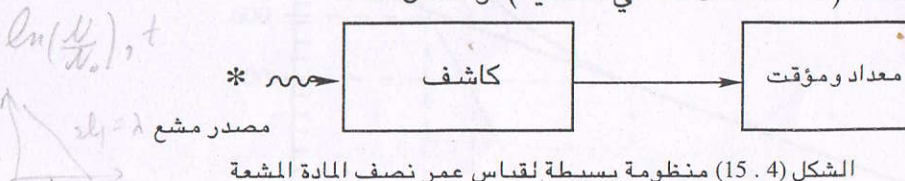


الشكل (4.14) سلسلة النبتونيوم

## 2. عمر النصف القصير:

عندما يتراوح عمر النصف للمادة المشعة بين دقائق - وساعات أو أيام أو شهور فإنه من المناسب هنا اتباع طريقة بسيطة تتلخص في وضع المادة المشعة أمام كاشف أشعاع مناسب يقيس  $\frac{dN}{dt}$  أو كمية متناسبة معها كعدد الانحلالات في الثانية أو الفاعلية الاشعاعية للمادة. وحيث أننا بينما أن عدد الانوية يتتناسب اسياً مع الزمن (معادلة 4.14) فلو رسمنا العلاقة بين الزمن ( $t$ ) وعدد الانحلالات في الثانية فسوف تأخذ شكل دالة اسية، وإذا مارسمنا هذه العلاقة على ورق نصف لوغاريتمي Semi - Logarithmic فإن هذه العلاقة ستكون عبارة عن خط مستقيم ميله يساوي  $(-\lambda)$ .

يبين الشكل (4.15) منظومة بسيطة لقياس عمر النصف لمادة مشعة حيث توضع مادة مشعة أمام كاشف مناسب (عداد جايجر أو يوديد صوديوم (ثاليوم) ... الخ) يتصل مع معداد لتسجيل عدد التبضات (عدد الانحلالات في الثانية) أو معدل العد.



الشكل (4.15) منظومة بسيطة لقياس عمر نصف المادة المشعة

ثم يؤخذ زمن ثابت (دقيقة او ثواني معينة) لتسجيل عدد الانحلالات عنده بواسطة المؤقت Timer. ونقوم بعد ذلك بتسجيل معدل العد على فترات زمنية متباudeدة حسب عمر النصف للمادة نفسها. وندون النتائج في جدول ثم نقوم برسم العلاقة بين معدل العد (عدد الانحلالات/ثانية) ورُزمن القياس. يبين الشكل (4.16) المنهنى المتحصل عليه لقياس عمر النصف لمادة معينة حيث يتضح لنا أن المنهنى عبارة عن خط مستقيم وذلك لأن المحور الرأسى يبىين معدل العد أو الفاعلية الاشعاعية أو عدد الانحلالات /ثانية (لاحظ أن هذه الكميات الثلاث مرتبطة كل مع الأخرى)، أما المحور الأفقي فيبىين زمان القياس مقدراً بالساعات.

لاحظ أيضاً أن سلسلة النبتوبيوم تنتهي بعنصر البزموت و 209 المستقر وليس بعناصر الرصاص كما هو الحال في السلسل الثلاث السابقة.

بالإضافة إلى النظائر المشعة الطبيعية أمكن حديثاً تحضير أكثر من ألف نظير مشع صناعياً تصل انصاف اعمار بعضها إلى أجزاء من الثانية وتستخدم في العديد من التطبيقات الصناعية والطبية.

## 8.4 قياس عمر النصف لمادة مشعة

هناك عدة طرق لتعيين عمر النصف لمادة مشعة وتعتمد هذه على عمر النصف نفسه للمادة وتتراوح اعمار النصف للمواد المشعة بين أجزاء من الثانية إلى  $10^{10}$  سنة أو يزيد . هذا بالإضافة إلى أن بعض النظائر المشعة توجد في حالات (مستويات) اثارة ذات اعمار انصاف خاصة بها أيضاً حيث تهبط قيم بعضها إلى  $10^{-12}$  ثانية أو أقل . ويتبين من هذا المدى الشاسع أنه يجب أن تكون هناك طرق عدة لقياس هذه الأزمدة.

### 1. عمر النصف الطويل جداً:

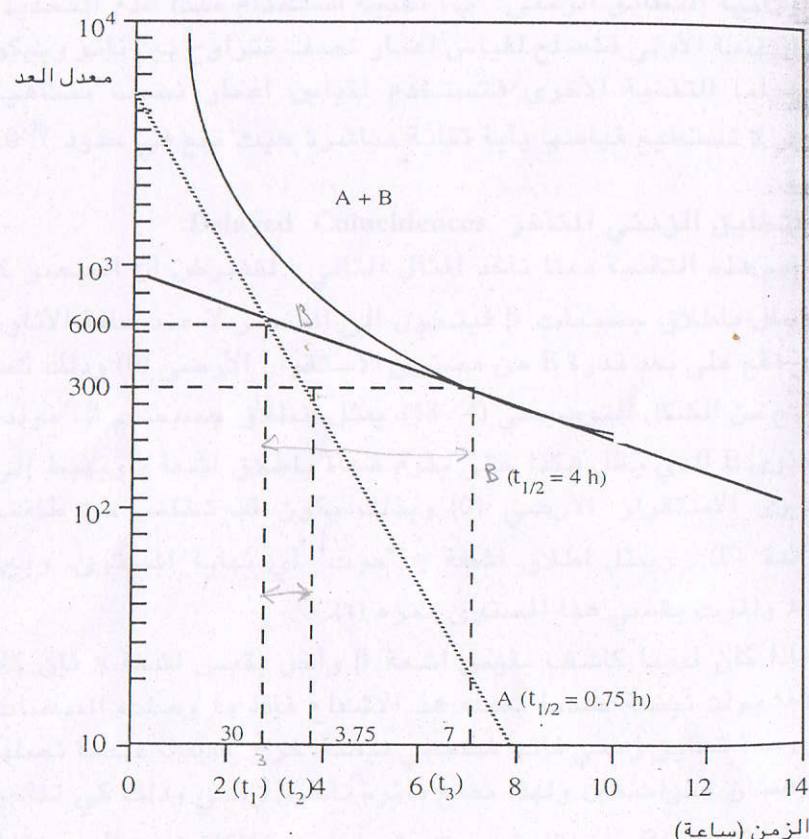
تبين معادلة (4.12) أن الفاعلية الاشعاعية ( $A$ ) يمكن حسابها إذا عرفنا كتلة المادة  $m$  وزنها الجزيئي  $M$  وعدد افوجادرو وثابت الانحلال ( $\lambda$ ) وبالعكس إذا تم قياس الفاعلية الاشعاعية ( $A$ ) والتي تساوى معدل تحلل المادة فإنه يمكن قياس  $\lambda$  ومن ثم حساب  $t_{1/2}$  حيث نجد أن :

$$t_{1/2} = \frac{0.693 m N_A}{M A} \quad (46.4)$$

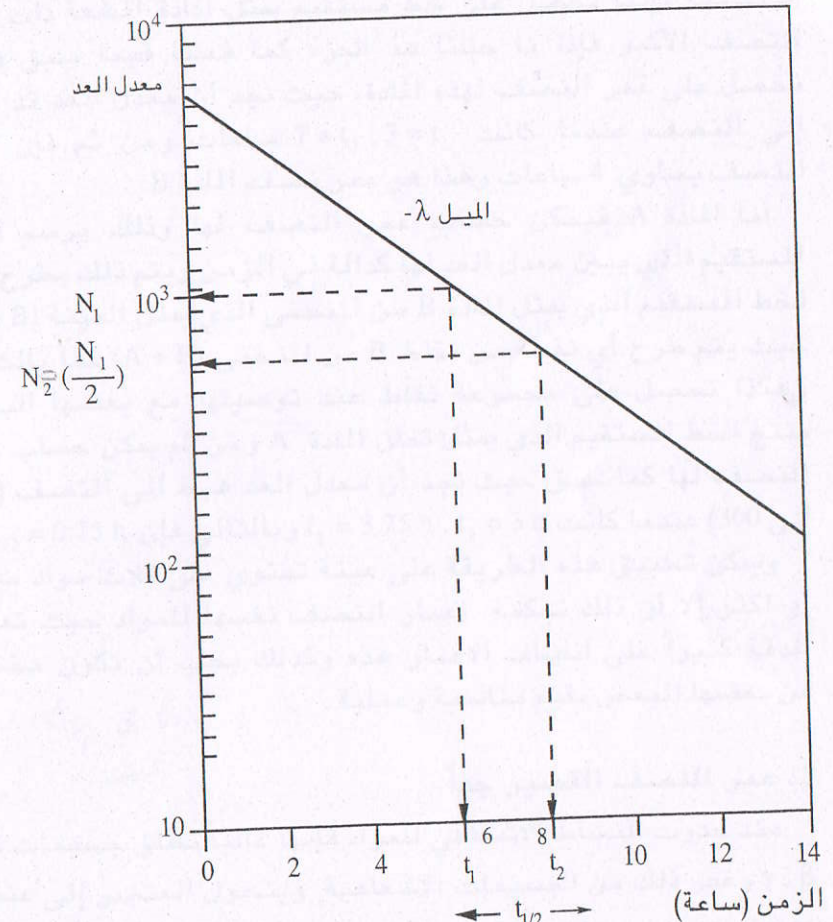
الفاعلية الاشعاعية ( $A$ ) هي عبارة عن  $\frac{dN}{dt}$  أي عدد الذرات المحتلة في وحدة الزمن أي عدد الانحلالات في الثانية وبالتالي إذا توفر لدينا كاشف عن الاشعاع (انظر الباب الثالث عشر) مناسب يقيس لنا قيمة  $\frac{dN}{dt}$  المطلقة فإنه يمكننا حساب عمر النصف الطويل الذي يصل إلى  $10^{10}$  سنة .

عمر النصف للمادة هو  $(t_1 - t_2)$  ومن الشكل نجد أن هذا الزمن يساوي 2.5 ساعة.

كما ويمكن استخدام هذه الطريقة لتعيين عمرى النصف لمادتين مشععتين موجودتين في عينة ما . أي أنه لدينا الأن عينة مختلطة من عنصرين أو أكثر ويمكننا تسجيل معدل العد للعينة كل فنحصل على منحنى مماثل للشكل (4.17) حيث يبين المنحنى الناتج عن عينة تحتوي



الشكل (4.17) تحليل منحنى تحلل مادتين مشععتين على مادتين مشععتين (A, B) يبين الشكل المنحنى الذي يمكن الحصول



الشكل (4.16) منحنى تحلل مادة ما وتعيين عمر النصف لها

لتعين عمر النصف من المنحنى فإننا نأخذ قيمة معينة على محور معدل العد ولتكن 1000 اتحلاله /ثانية وهي  $N_1$  (كما بالشكل) ونعني الزمان المقابل لها ولتكن  $t_1$  (6 ساعات) ثم نأخذ نصف معدل العد 500 وهو  $\frac{N_1}{2}$  نعني الزمان المقابل له  $t_2$ .

الشعاعي أي أنه سينتظر عدد معين من الانحلالات في الثانية ونلاحظ نشاطاً اشعاعياً للمادة وبالتالي يمكن قياس عمر النصف للمستوى الشعاعي المعين.

وتتراوح اعمار النصف لهذه المستويات الشعاعية بين  $10^{-6}$  إلى  $10^{-10}$  ثانية وهذا هو المدى الذي يمكن أن نتناوله في هذا الكتاب.

وستستخدم لقياس عمر النصف في هذا المدى تقنيتين رئيسيتين:  
 (أ) تقنية التطابق الزمني بـ (B) تقنية استخدام مبدأ عدم التحديد.  
 أما التقنية الأولى فتلعب لقياس اعمار نصف تراوح بين نانو وبيكو ثانية أما التقنية الأخرى فتستخدم لقياس اعمار نصف متناهية الصغر لا تستطيع قياسها بأية تقانة مباشرة حيث تقع في حدود  $10^{-20}$  ثانية.

(أ) التطابق الزمني المتأخر *Delayed Coincidences*:  
 لفهم هذه التقنية دعنا نأخذ المثال التالي : لنفترض أن العنصر X قد تحل باطلاق جسيمات  $\beta$  فيتحول إلى العنصر Y عند حالة الأثارة التي تقع على بعد قدرة E من مستوى الاستقرار الأرضي (0) وذلك كما يتضح من الشكل التوضيحي (4.18). يمثل انطلاق جسيمات  $\beta$  "مولد" المستوى E الذي يظل هكذا حتى يقوم فجأة باطلاق اشعة  $\gamma$  ويهبط إلى مستوى الاستقرار الأرضي (0) وبذلك يكون قد تخلص من طاقته الزائدة (E) . ويمثل اطلاق اشعة  $\gamma$  "موت" أي نهاية المستوى، وبين المولد والموت يقضي هذا المستوى عمره (τ).

إذا كان لدينا كاشف يقيس اشعة  $\beta$  وأخر يقيس اشعة  $\gamma$  فإن كل منها يولد نبضة عندما يصله هذا الإشعاع فإذا ما وصلت النبضات إلى وحدة تطابق زمني فإنها ستعطي نبضة خرج Output عندما تصلكا النبضتان متزامنتين ولهذا نضع دائرة تأخير زمني وذلك كي تتأخر نبضة الكاشف  $\beta$  بعض الوقت حتى تصلك نبضة الكاشف  $\gamma$  (أي ينطلق اشعاع  $\gamma$ ). لاحظ هنا أن زمن التأخير يحمل معلومات عن عمر النصف (متوسط العمر) للمستوى. وبالتالي فإن دراسة التوزيع الزمني للتأخير يمكننا من تعين عمر النصف  $t_{1/2}$ .

يأخذ شكل الخط المستقيم عند آخره فإذا ما مددنا هذا الجزء على استقامته فإننا نحصل على خط مستقيم يمثل المادة المشعة ذات عمر النصف الأكبر فإذا ما حلنا هذا الجزء كما فعلنا فيما سبق فإننا نحصل على عمر النصف لهذه المادة، حيث نجد أن معدل العقد هبط إلى النصف عندما كانت  $t_1 = t_3 = 7$  ساعات ومن ثم فإن عمر النصف يساوي 4 ساعات وهذا هو عمر نصف المادة B.

أما المادة A فيمكن حساب عمر النصف لها وذلك برسم الخط المستقيم الذي يبين معدل العد لها كدالة في الزمن ويتم ذلك بطرح قيم الخط المستقيم الذي يمثل المادة B من المنحنى الذي يمثل العينة (A + B) حيث يتم طرح أي نقطة من نقاط B من المنحنى (A + B) كما بالشكل. وهكذا نحصل على مجموعة نقاط عند توصيلها مع بعضها البعض ينتج الخط المستقيم الذي يمثل تحلل المادة A ومن ثم يمكن حساب عمر النصف لها كما سبق حيث نجد أن معدل العد هبط إلى النصف (600) إلى (300) عندما كانت  $t_1 = 3 h$ ,  $t_2 = 3.75 h$ ,  $t_{1/2} = 0.75 h$  وبالتالي فإن  $t_{1/2} = \frac{t_1}{2}$   
 ويمكن تطبيق هذه الطريقة على عينة تحتوي على ثلاثة مواد مشعة أو أكثر إلا أن ذلك تحكمه اعمار النصف نفسها للمواد حيث تعتمد الدقة كثيراً على انصاف الاعمار هذه وكذلك يجب أن تكون مختلفة عن بعضها البعض بقيم مناسبة وعملية.

٤٢  
٤٣  
٤٤

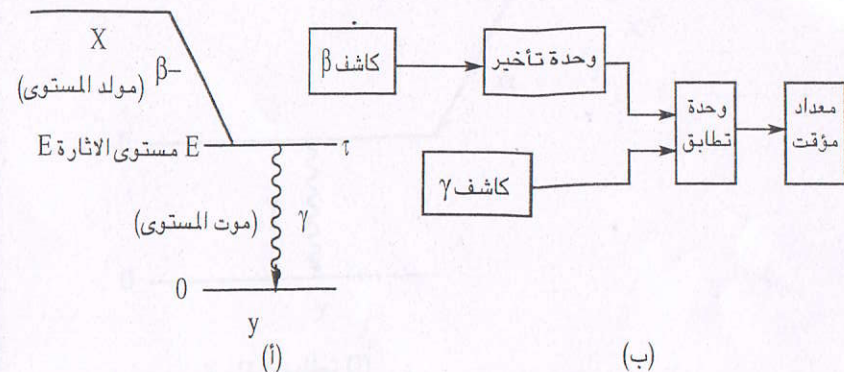
### 3. عمر النصف القصير جداً:

عند حدوث النشاط الشعاعي للمواد فإنها غالباً تطلق جسيمات  $\alpha$  ،  $\beta$  وغير ذلك من الجسيمات الشعاعية ويتحول العنصر إلى عنصر آخر (ما عدا في حالة اطلاق اشعاع  $\gamma$ ) غالباً ما يكون هذا العنصر في حالة أثارة أو مستويات أثارة . ويظل العنصر في مستوى الأثارة المعين فترة من الزمن ثم تتحلل هذه المستويات نفسها إلى مستويات أدنى منها أو إلى مستوى الاستقرار الأرضي وذلك باطلاقها غالباً اشعاع  $\gamma$ .

وما يهمنا هنا في هذا المقام هو الفترة الزمنية التي يعيشها المستوى المعنى قبل أن يتحلل إلى مستوى آخر وهو عندما يفعل ذلك فإنه يطلق اشعاع جاما - كما أسلفنا - وهذا الإشعاع يحدث ايونات

العد حيث يبين المحور الافقى زمن التأثير أما على المحور الرأسى فنبين معدل العد الناتج عن وحدة التأثير ويمكن تعين  $t_{1/2}$  بنفس الطريقة المتبعة في الفصل السابق حيث نعين الزمن الذى يهبط فيه معدل العد إلى النصف فيكون هو عمر النصف للمستوى المعنى. في هذه التجربة استخدمنا التطابق الزمني بين اشعة  $\beta$  وأشعة  $\gamma$ .

كما ويمكن لعنصر معين أن يطلق جسيمات  $\alpha$  متحولاً إلى عنصر آخر يطلق اشعة  $\gamma$  بعد ذلك وبالمثل فإنه يمكن استخدام التطابق الزمني بين جسيمات  $\alpha$  وأشعة  $\gamma$  لقياس عمر النصف للمستوى المعنى وتسمى هذه التقنية: بالتطابق الزمني بين اشعة  $\gamma$  وأشعة  $\alpha$ . يبين الشكل (4 . 20) شكلاً توضيحياً للتطابق الزمني بين اشعة  $\alpha$  ،  $\gamma$  (الشكل 4 . 20 أ) حيث يمكن استخدام كاشف لقياس اشعة  $\alpha$  وأخر لقياس اشعة  $\gamma$  وبدراسة التطابق الزمني للنبضات الناتجة منها يمكن ايجاد عمر النصف للمستوى المبين بالشكل (4 . 20 أ). يبين الشكل (4 . 20. ب) تطابق زمني بين شعاعي  $\gamma_1$  ،  $\gamma_2$  حيث نجد هنا أن المستوى E ينتج عندما تنطلق إليه اشعة  $\gamma_1$  ثم يتحلل المستوى إلى مستوى الاستقرار الأرضي O مطلقاً اشعاع  $\gamma_2$  فإذا كان لدينا الأن كاشفان يقيس أحدهما  $\gamma_1$  والأخر  $\gamma_2$  فإن دراسة التطابق الزمني للنبضات الناتجة منها تمكننا من قياس عمر نصف المستوى E (الشكل 4 . 20 ب).

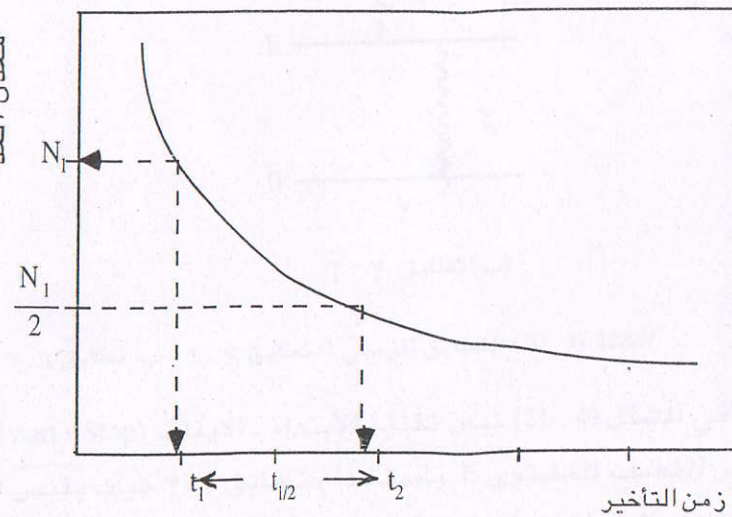


الشكل (4 . 18) التطابق الزمني للتآثر (تطابق  $\beta$  و  $\gamma$ )

أ. تحلل العنصر X إلى العنصر γ ومولد مستوى الإثارة E

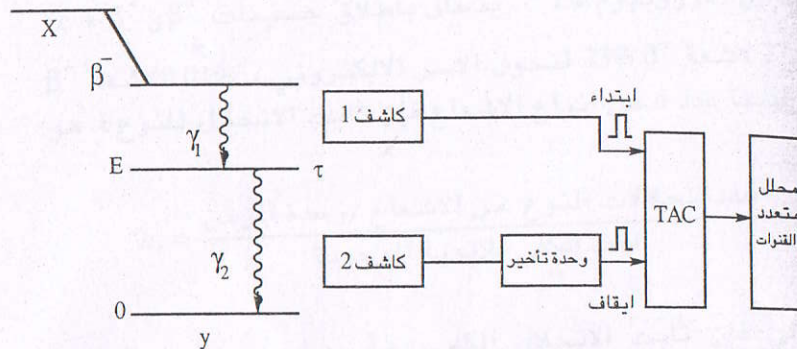
ب. منظومة التطابق الزمني المتآثر لتعيين عمر النصف (C) للمستوى

يبين الشكل (4 . 19) التوزيع الزمني لوحدة التأثير كدالة في معدل



الشكل (4 . 19) تعين عمر النصف باستخدام التطابق الزمني المتآثر

فإنه يمكننا براسة التوزيع الزمني بين  $\gamma_1$ ,  $\gamma_2$ ,  $\alpha$  كما يسجله converters) محل متعدد القنوات ومن ثم تقدير عمر النصف ( $\tau$ ).



الشكل (4 . 21) قياس عمر النصف باستخدام تطابق  $\gamma$ ,  $\gamma$ ,  $\alpha$

#### ب. مبدأ عدم التحديد:

إذا كان لدينا مستوى إشارة طاقته  $E$  وعمر النصف له  $\tau$  فإنه حسب مبدأ عدم التحديد فإن:

$$\Delta E \cdot \tau \approx \hbar \quad (47 . 4)$$

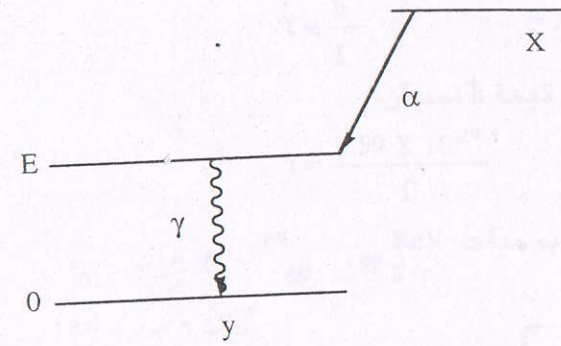
حيث  $\Delta E$  هي الخطأ (عدم التحديد) في الطاقة.

تبين المعادلة السابقة أن  $\Delta E$  تساوي صفرًا عندما  $\tau$  تؤول إلى ما لا نهاية أي أن قيمة الطاقة  $E$  تساوي قيمة محددة لا خطأ فيها. ولكن عند قياس الطاقة فإذا حدث انتقال بين مستوي إشارة معين لخط الطاقة كما يسجله كاشف اشعاعي معين. فإذا حدث انتقال بين مستوي إشارة معين طاقته  $E$  ومستوى الاستقرار الأرضي ( $E = 0$ ) فإن الخطأ في الطاقة المقاومة يرجع إلى عدم التحديد الناتج في طاقة هذا المستوى.

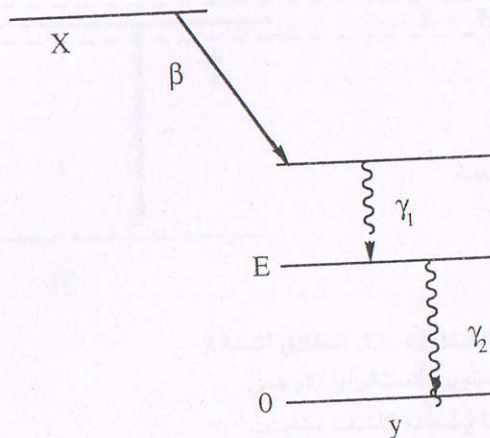
يبين الشكل (4 . 22) انطلاق أشعة  $\gamma$  وقياس عدم التحديد في طاقتها وهو اتساع المستوى ويرمز له بالرمز  $\Gamma$  أي أن:

$$\Gamma \tau \approx \hbar$$

ومنها فإن:



(ا) تطابق  $\gamma$ ,  $\alpha$



(ب) تطابق  $\gamma$ ,  $\gamma$

الشكل (4 . 20) التطابق الزمني : تطابق  $\alpha$ ,  $\gamma$ ,  $\gamma$  ، ب: تطابق  $\gamma$ ,  $\gamma$

في الشكل (4 . 21) نبين تقنية الابتداء - الإيقاف (start - Stop) لقياس عمر النصف للمستوى  $E$  باستخدام تطابق  $\gamma$ ,  $\gamma$  حيث يقيس الكاشف 1 أشعة  $\gamma_1$  وتنتج عنه نبضة الابتداء أما الكاشف 2 فيقيس أشعة  $\gamma_2$  وينتج عنه نبضة الإيقاف فإذا ماررت هذه النبضات إلى جهاز يحول الزمن بين النبضتين ( $\tau$ ) إلى ارتفاع النبضة Time to Amplitude TAC (Time to Amplitude TAC)

#### 9.4 نسبة التفرع (R) :Branching Ratio

وجد أن بعض النظائر تتحلل بطلاق أكثر من نوع من الأشعاع.

فمثلاً نجد أن الاوروبيوم  $^{152}\text{Eu}$  يتحلل بطلاق جسيمات  $\beta^+$  و  $\beta^-$  و  $\text{Ec}$  بـ 73% لأشعة  $\beta^-$  و 27% لأشعة  $\beta^+$  لتتحول الاسر الالكترونية ، فإذا كان لدينا عدد  $n$  من انواع الاشعاع فإن ثابت الانحلال للنوع  $i$  هو حيث:

$$\lambda_i = \frac{\text{عدد انحلالات النوع من الاشعة / وحدة الزمن}}{\text{العدد الكلي للانوية الموجودة}} = \frac{dN/dt}{N}$$

وبالتالي فإن ثابت الانحلال الكلي  $\lambda_{\text{Tot}}$  يساوي مجموع ثوابت الانحلال لأنواع الاشعة المختلفة أي أن:

$$\lambda_{\text{Tot}} = \lambda_1 + \lambda_2 + \dots + \lambda_n \quad (49.4)$$

ويتضح أن:

$$\frac{1}{\tau_{\text{Tot}}} = \frac{1}{\tau_1} + \frac{1}{\tau_2} + \dots + \frac{1}{\tau_n} \quad (50.4)$$

حيث  $\tau$  هي متوسط عمر النواة التي تطلق الاشعة وهذا بالنسبة لباقي متوسطات الاعمار.

ما سبق نستطيع أن نعين نسبة التفرع (R) لأي نوع من انواع الاشعاع الأخرى حيث:

$$R_n = \frac{\lambda_n}{\lambda_{\text{Tot}}} \quad (51.4)$$

حيث  $\lambda_n$  هي ثابت انحلال نوع الاشعة (n)

لاحظ أن عمر النصف  $t_{1/2}$  للأشعة  $n$  يرتبط مع  $\lambda_n$  بالعلاقة:

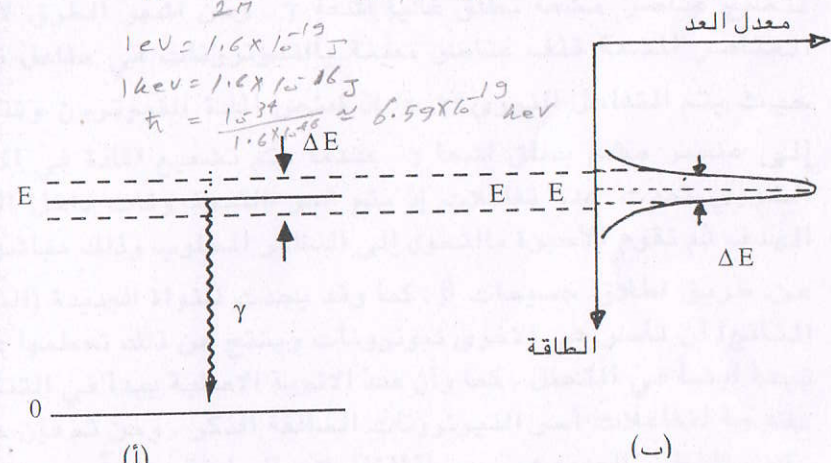
$$t_{1/2}(n) = \frac{0.693}{\lambda_n} \quad (52.4)$$

$$\tau \equiv \frac{\hbar}{\Gamma} \quad (48.4)$$

وبتعويض عن قيمة  $\hbar$  نجد أن:

$$\tau = \frac{6.59 \times 10^{-19}}{\Gamma} \quad (48'.4)$$

حيث  $\Gamma$  تؤخذ بوحدات KeV



الشكل (22.4) انطلاق اشعة  $\gamma$

- أ. تحلل المستوى E إلى مستوى الاستقرار الأرضي
- ب. طيف طاقة أشعة  $\gamma$  كما يسجله كاشف مناسب

يتبيّن من المعادلة السابقة أنه إذا كانت  $\Gamma$  في حدود Kev فإن  $\tau$  تقدر بـ  $10^{-20}$  ثانية وهذه فترة زمنية صغيرة جداً لا يمكن لأي جهاز في الوقت الحاضر أن يقيسها لكننا نستطيع حسابها بتقدير  $\Gamma$  التي يمكن للأجهزة الحديثة أن تقيسها بسهولة.

#### 10.4 تحضير النظائر المشعة

هناك استخدامات عديدة للنظائر المشعة في حقول الطب والصناعة والزراعة والابحاث وتقاد النظائر المشعة تدخل في كل منحي من نواحي الحياة المعاصرة وبالاضافة إلى العناصر المشعة الطبيعية يمكن تحضير المئات منها بطرق صناعية عديدة ، ويتم ذلك بالتفاعل النووي بين جسيمات مناسبة واهداف من مواد معينة (انظر الباب السابع) لتنتج عناصر مشعة تطلق غالباً اشعة  $\gamma$  . ومن اشهر الطرق لانتاج العناصر المشعة قذف عناصر معينة بالنيوترونات في مفاعل نووي حيث يتم التفاعل النووي ( $\gamma, n$ ) إذ تمتص المادة النيوترون وتتحول إلى عنصر مشع يطلق اشعة  $\gamma$  . عندما يتم تشعيع المادة في المفاعل النووي تحدث عدة تفاعلات إذ يتم اسر النيوترونات داخل النواة الهدف ثم تقوم الأخيرة بالتحول إلى النظير المطلوب وذلك مباشرة أو عن طريق اطلاق جسيمات  $\beta$  . كما وقد يحدث للنواة الجديدة (النظير الناتج) أن تتأثر هي الأخرى نيوترونات وينتتج عن ذلك تحطمها . وقد تبدأ أيضاً في التحلل . كما وأن اانونية الاصلية يبدأ في التناقص نتيجة لتفاعلات أسر النيوترونات السالفة الذكر . ومن ثم فإن معدل تكون النظير الجديد هو محصلة التفاعلات السابقة جميعاً .

فإذا كان عمر النصف لتحلل  $\beta$  صغيراً أو كان هذا التحلل نادراً فإن فاعلية (A) النظير الناتج يمكن أن تعطى بالعلاقة :

$$A = \frac{N_0 \emptyset \sigma_T \lambda_p}{\lambda_p + \emptyset (\sigma_p - \sigma_T)} [e^{-\sigma_T \emptyset t} - e^{-(\lambda_p + \sigma_p \emptyset)t}] \quad (53.4)$$

حيث:

$N_0$  . عدد اانونية المادة الهدف الابتدائية.

$\emptyset$  فيض النيوترونات من المفاعل ( $\text{n/cm}^2 \cdot \text{s}$ )

$\sigma_p, \sigma_T$  مساحة مقطع تفاعل أسر النيوترون بواسطة المادة الهدف، النظير الجديد، على الترتيب .

$\lambda_p$  ثابت تحلل النظير الجديد .

في المعادلة السابقة تقدر A بعدد الانحلالات/ثانية ،  $\sigma$  بالبارن

يمكن تعريف الفاعلية النوعية Specific activity ( $A_s$ ) على انها عبارة عن الفاعلية لكل جرام من المادة أي أن :

$$A_s = \frac{A}{m} \quad (54.4)$$

حيث  $m$  هي كتلة المادة .

فعندما يكون زمن التشعيع ( $t$ ) صغيراً وفيض النيوترونات منخفضاً فإنه يمكننا اهمال كلّ من معدل احتراق المادة الهدف واسر النيوترونات بواسطة النظير المتكون، وبالتالي يمكن كتابة معادلة (53.4) على الشكل التالي :

$$A_s = \frac{0.6 \emptyset \sigma_T}{3.7 \times 10^{10} M} \left( \frac{1}{1 - e^{-0.693}} \right)^{\frac{t}{\tau}} \quad (55.4)$$

حيث:

$M$  الوزن الذري لمادة الهدف .

$\tau$  عمر النصف للنظير الجديد .

$t$  زمن التشعيع في المفاعل .

أما  $A_s$  فتقدير بوحدة ( $\text{Ci/g}$ ) أي كوري لكل جرام من المادة الهدف . والمعادلة السابقة هي علاقة عامة يمكن بواسطتها حساب فاعلية أي نظير مشع يمكن تحضيره في المفاعل النووي .

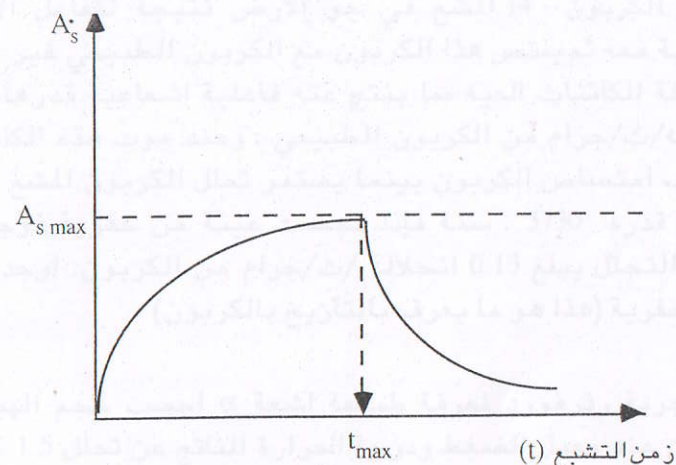
لاحظ أن الفاعلية النوعية يمكن أن تصل إلى قيمة عظمى  $A_{smax}$  عندما يكون زمن التشعيع  $t$  كبيراً، إذ أن المعادلة الأخيرة تؤول إلى العلاقة:

$$A_{smax} = \frac{0.6 \emptyset \sigma_T}{3.7 \times 10^{10} M} \text{ Ci/g} \quad (56.4)$$

وعند رسم العلاقة بين زمن التشعيع  $t$  والفاعلية النوعية للنظير الناتج نجد أنها تأخذ الشكل (4.23). حيث نجد أن الفاعلية النوعية تتزايد مع الزمن حتى تصل إلى القيمة العظمى عند زمن  $t_{max}$  ثم تأخذ بعد ذلك في النقصان أسيّاً مع الزمن حسب قاعدة التحلل العامة. لاحظ أنه لا يلزمنا زماناً طويلاً كي تصل الفاعلية النوعية إلى قيمتها العظمى .

## مسائل على الباب الرابع

- 1) تخرج اشعة  $\alpha$  من مصدر مشع بطاقة قدرها  $5.2 \text{ eV}$ . ثم تدخل عمودياً إلى مجال مغناطيسي شدته  $0.5 \text{ T}$ . احسب نصف قطر مسارها.
- 2) احسب الفاعلية الناتجة عن جرام واحد من الكوبالت -  $60$  ( $\tau = 5.27 \text{ years}$ )
- 3) اذا كان لديك  $5\text{g}$  من الذهب ( $^{196}\text{Au}$ ) الذي يبلغ عمر النصف له  $6.28$  يوماً اوجد كتلة الذهب المتبقية بعد شهر واحد. ثم احسب ايضاً عدد الانوية عند مرور شهر واحد.
- 4) ينتج السترانشيوم -  $90$  عن الانشطار النووي فإذا كان عمر النصف له  $28$  سنة. اوجد نسبة السترانشيوم المتبقية بعد مائة سنة من انفجار قنبلة نووية.
- 5) يحتوي جسم الانسان على  $15\%$  من وزنه كربون،  $1\%$  بوتاسيوم، فإذا كان الكربون المشع ( $^{14}\text{C}$ ) يطلق  $0.25$  جسيم  $\beta$  /ساعة /جرام من الكربون الموجود في جسم الانسان، بينما يحتوي البوتاسيوم على  $0.011\%$  من البوتاسيوم -  $40$  المشع الذي يطلق اشعاع  $\beta$  بعمر نصف قدره  $10^9 \times 1.27$  سنة. اوجد الفاعلية الطبيعية مقداره بالكوري في جسم انسان تبلغ كتلته  $60 \text{ kg}$ .
- 6) قبل عام  $1951$ ، كانت مركبات الكربون الموجودة في الطبيعة تطلق جسيمات  $\beta$  بمعدل قدره  $15.3$  لكل دقيقة ولكل غرام من الكربون المتواجد في الطبيعة وذلك نظراً لوجود ( $^{14}\text{C}$ ) المشع بعمر نصف قدره  $5730$  سنة. ومنذ عام  $1951$  بدأت هذه النسبة في التزايد نظراً للتجارب الخاصة بالأسلحة النووية. اوجد نسبة وجود الكربون المشع في الطبيعة بالنسبة للكربون العادي.



الشكل (2 . 23) انتاج النظائر المشعة عن طريق الاصدار النووي

ويتبين ذلك جيداً من معادلة (4 . 55) التي يمكن كتابتها الأن بدالة معادلة (4 . 56) حيث:

$$A_s = A_{s\max} \left( 1 - e^{-\frac{t}{\tau}} \right)^{-0.693} \quad (4 . 57)$$

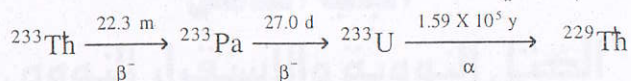
فعدما  $\tau = t$  فإن :

$$A_s = 0.5 A_{s\max} \quad \text{وعندما } 4\tau = t \text{ فإن}$$

وبالتالي فإنه كي نصل إلى الفاعلية القصوى لا يلزمنا التشيع لكثير من زمان يساوى عدة مضاعفات من عمر النصف للنظير المطلوب تحضيره.

كما ونلاحظ من معادلة (4 . 56) أن الفاعلية القصوى تتناسب مباشرة مع الفيض النيوترونى وبالتالي للحصول على فاعلية عالية فإنه يلزمنا تشيع المادة في فيض نيوترونى عالي .

(12) في التحول التالي:



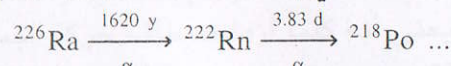
احسب :

أ) الفاعلية الناتجة عن اليورانيوم بعد مرور بضعة اسابيع اذا بدأنا بعينة نقية من الثوريوم فاعليتها 1 كوري.

ب) كتلة اليورانيوم المتواجدة عند هذه المدة.

(يستخدم هذا التحلل لتحضير اليورانيوم في المفاعلات النووية الانتاجية (انظر الباب الخامس عشر)).

(13) في التحول التالي (انظر سلسلة اليورانيوم):



اذا كانت لديك عينة من الراديوم نقية تبلغ كتلتها ميلigram واحد.  
احسب :

أ) كتلة الرادون المتكونة بعد مرور يوم كامل.  
ب) الفاعلية الاشعاعية للرادون.

ج) حجم الرادون المتكون عند م.ض.د. (معدل الضغط ودرجة الحرارة).

(14) يعتبر اليورانيوم الطبيعي خليطاً من  $^{235}\text{U}$  ( $\tau = 7.03 \times 10^8\text{ y}$ ) واليورانيوم  $^{238}\text{U}$  ( $\tau = 4.46 \times 10^9\text{ y}$ ) بنسبة 0.7%. فإذا كان عمر الأرض يبلغ  $10^9 \times 10^4$  سنة. احسب هذه النسبة عند بدء تكون الأرض.

(15) يحتوي مصدر مشع على خليط من مادتين مشعتين عمر النصف لادهاهما شهر واحد بينما يبلغ عمر النصف للأخرى شهر ونصف.  
فإذا كانت فاعليتيهما متساويتين في البداية. اوجد فاعلية كل منهما بعد مرور شهرين.

(16) يبلغ عمر النصف للصوديوم ( $^{22}\text{Na}$ ) 2.58 سنة ويتحلل إما باطلاق جسيمات  $\beta^+$  (بنسبة 11%) أو بالاسر الالكترون، (بنسبة 89%). أوجد

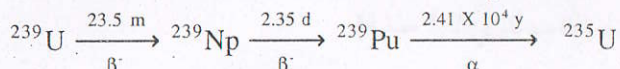
(7) ينتج الكربون - 14 المشع في جو الأرض نتيجة لتفاعل الاشعة الكونية معه ثم يتمتص هذا الكربون مع الكربون الطبيعي غير المشع بواسطة الكائنات الحية مما ينتج عنه فاعلية اشعاعية قدرها 0.16 انحلاله/ث/جرام من الكربون الطبيعي . وعند موت هذه الكائنات يتوقف امتصاص الكربون بينما يستمر تحلل الكربون المشع بعمر نصف قدره 5730 . سنة فإذا فحصت عينة من حفرية فوجد أن معدل التحلل يبلغ 0.13 انحلاله /ث/جرام من الكربون. اوجد عمر هذه الحفرية (هذا هو ما يعرف بالتاريخ بالكريون) .

(8) في تجربة رذرфорد لمعرفة طبيعة اشعة  $\alpha$  احسب حجم الهيليوم المكون عند معدل الضغط ودرجة الحرارة الناتج عن تحلل 1.5 كوري من الرادون - 222 بعد سبعة أيام.

(9) يحتوي خام اليورانيوم على 1% من وزنه  $^{238}\text{U}$  احسب كتلة الراديوم 226 الموجود في كمية من الخام كتلتها 500 كيلو جرام وذلك عند حدوث الاتزان الاشعاعي بين اليورانيوم والراديوم .

(10) يتحلل الفوسفور ( $^{32}\text{P}$ ) باطلاق جسيمات  $\beta^-$  (مشع بيتاً نقي) متحولاً إلى الكبريت ( $^{32}\text{S}$ ) بعمر نصف قدره 14.28 يوماً . فإذا حضرت عينة فاعليتها 1كوري احسب كتلة الكبريت الناتج بعد مرور أسبوع واحد على هذه العينة.

(11) في التحول التالي:



احسب :

أ) الفاعلية الناتجة عن البلوتونيوم بعد مرور بضعة اسابيع اذا بدأنا بعينة نقية من اليورانيوم - 239 فاعليتها 0.5 كوري.  
ب) كتلة البلوتونيوم المتواجدة عند هذه المدة.

(يستخدم هذا التحلل لتحضير البلوتونيوم من اليورانيوم الطبيعي في المفاعلات النووية الانتاجية (انظر الباب الخامس

عمر النصف الجزئي لكل من النمطين السابقين.

## الباب الخامس

# الكتل النووية والاستقرار النووي

### 1.5 العلاقة بين الكتلة والطاقة :

بينا في الباب الأول أن كتلة الجسم تأخذ في الزيادة وذلك عندما تقترب سرعته من سرعة الضوء واستنتجنا أن طاقة حركة الجسم ( $T$ ) تعطى بالعلاقة (25.1) أي أن :

$$T = (m - m_0) c^2$$

حيث  $m_0$  هما كتلة الجسم النسبية والسكنوية على الترتيب . وهذا يعني أنه كلما ازدادت طاقة حركة الجسم فإن كتلته تزداد وذلك عندما تقترب سرعته من سرعة الضوء . فإذا ما وصلت سرعة الجسم إلى سرعة الضوء - نفترض هذا نظرياً - فإن كتلة الجسم تصبح لا نهائية (وذلك حسب معادلة 20.1) . وهذا يعني أنه يلزمنا أن نمدد بطاقة لانهائية ، وهذا غير عملي . يمكن حالياً تعجيل الكثير من الجسيمات وخاصة الخفيفة إلى سرعات كبيرة باستخدام المعجلات المختلفة حيث تبدأ في الظهور تعقيدات فنية كبيرة في تصميم هذه الأجهزة وذلك عندما تقترب سرعات الجسيمات المعجلة من سرعة الضوء .

كما بینا في المعادلة (22.1) أن هناك علاقة تربط بين الطاقة الكلية للجسم ( $E$ ) وكتلة ( $m$ ) حسب معادلة اينشتاين المعروفة :-

$$E = mc^2$$

حيث  $c$  هي سرعة الضوء .

تكتسب العلاقة بين الطاقة والكتلة أهمية خاصة عند الحديث عن الكتل النووية والاستقرار النووي . إذ سوف يتضح لنا جلياً كيف تتحول الكتلة إلى نوع من الطاقة كما وتحول الطاقة بدورها إلى كتلة .

### 2.5 الكتل النووية :

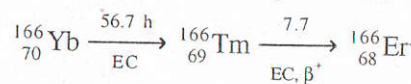
عند

(17) وضع شريحة من الذهب  $Au^{197}$  كتلتها 0.06 جرام في احدى قنوات مفاعل نووي حيث عرضت لأشعاع النيوترونات لمدة نصف ساعة . فإذا كان الذهب يتمتص النيوترون ويتحول إلى النظير  $^{198}$  الذي يطلق اشعاع  $\beta$  بعمر نصف قدره 2.69 يوماً . وعند فحص العينة بعد ساعتين من اخراجها من المفاعل وجد أنها تطلق جسيمات  $\beta$  بمعدل قدره  $2 \times 10^4$  دقيقه . اوجد فيض النيوترونات في المفاعل اذا علمت أن مساحة مقطع الامتصاص للنيوترونات يبلغ 98.8 بارن .

(18) يتتحول الاوروبيوم  $Eu^{151}$  إلى النظير  $^{152}Eu$  عند تعرضه لفيض من النيوترونات حيث يتحلل بعمر نصف قدره 13 سنة إلى كل من الجادولنيبيوم والسميريوم باطلاق  $\beta^-$  و  $EC + \beta^+$  على الترتيب . اوجد زمن التشيعي اللازم للحصول على فاعلية قدرها  $10\text{ }\mu\text{Ci}$  من  $^{152}Eu$  اذا كان فيض النيوترونات يبلغ  $1.5 \times 10^{12}$  نيوترون/ $\text{سم}^2/\text{s}$  .

(19) احسب الطاقة المتحررة عن التحلل الكامل لكتلة من الكوبالت - 60 قدرها 0.05 جرام إذا علمت أن كل تحلله ينتج عنها جسيمات  $\beta$  بطاقة قدرها 0.31 واسعة  $\gamma$  بطاقة قدرها 2.5 م أف . (عمر النصف للكوبالت 60 يساوي 5.2 سنة) .

(20) في التحلل المتلاحق:



أوجد :

- الزمن الذي تبلغ عنده فاعلية الثوليوم قيمتها العظمى .
- فاعلية اليتريبيوم بعد مرور ثلاثة أيام .